

Kleisli Simulation for Real-Weighted Automata and Its Algorithm

卜部 夏木

(東京大学理学部情報科学科 4 年)

Overview

- Simulation
- Kleisli Simulation
 1. Definition
 2. Searching Kleisli Simulation for Probabilistic System
- Contribution
 1. Implementation
 2. Increasing the Chance of Simulation
- Experimental Results and Comparison

Overview

- **Simulation**
- Kleisli Simulation
 1. Definition
 2. Searching Kleisli Simulation for Probabilistic System
- Contribution
 1. Implementation
 2. Increasing the Chance of Simulation
- Experimental Results and Comparison

目標

- State-based system の trace inclusion を調べる
- Trace semantics = Linear-time behavior
- Trace inclusion = Trace Semantics の間の包含関係

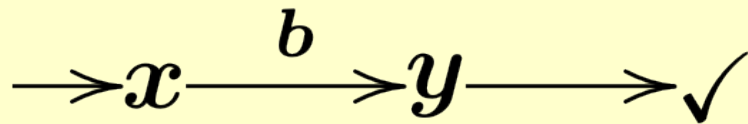
目標

- State-based system の trace inclusion を調べる
- Trace semantics = Linear-time behavior
- Trace inclusion = Trace Semantics の間の包含関係
- 例:非決定性オートマトンの場合

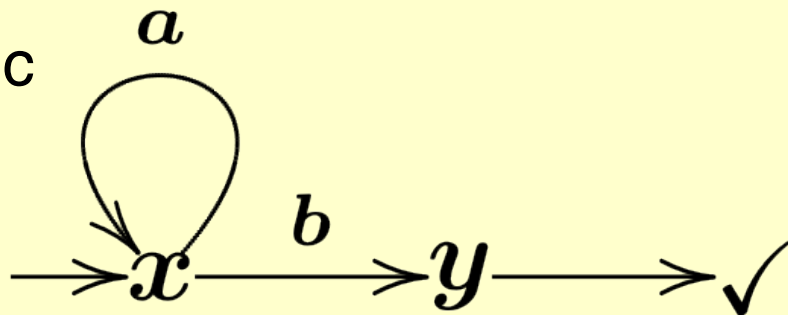
目標

- State-based system の trace inclusion を調べる
- Trace semantics = Linear-time behavior
- Trace inclusion = Trace Semantics の間の包含関係
- 例:非決定性オートマトンの場合

Impl



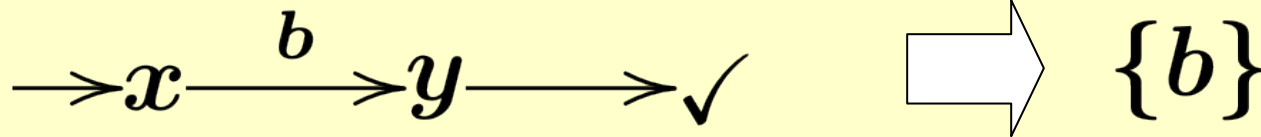
Spec



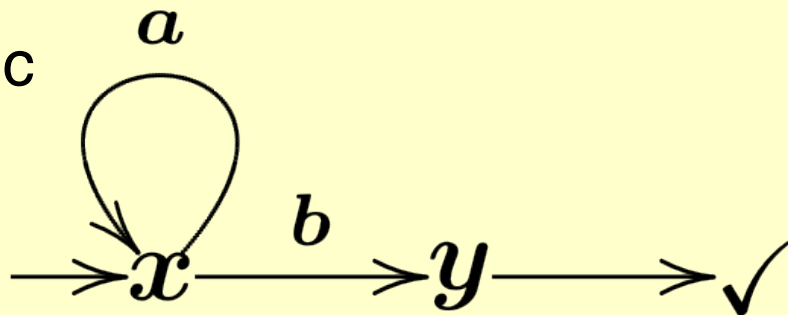
目標

- State-based system の trace inclusion を調べる
- Trace semantics = Linear-time behavior
- Trace inclusion = Trace Semantics 間の包含関係
- 例: 非決定性オートマトンの場合

Impl



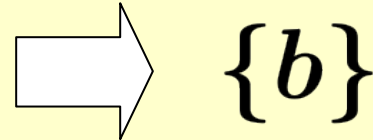
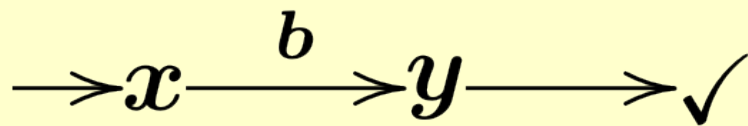
Spec



目標

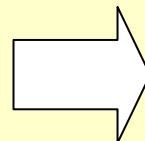
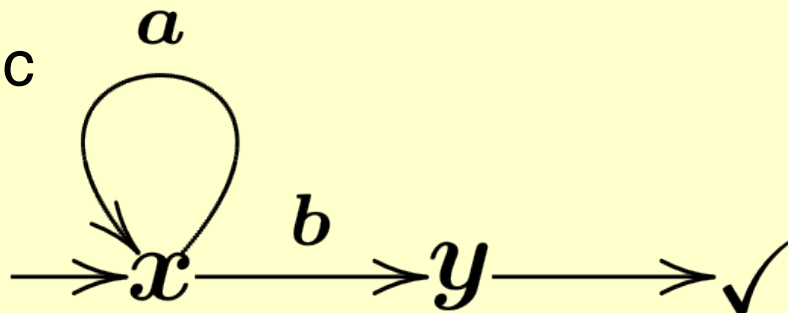
- State-based system の trace inclusion を調べる
- Trace semantics = Linear-time behavior
- Trace inclusion = Trace Semantics の間の包含関係
- 例:非決定性オートマトンの場合

Impl



$\{b\}$

Spec

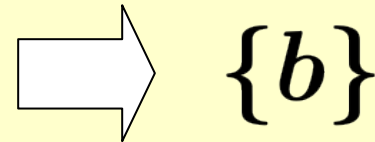
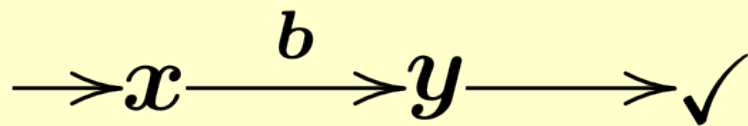


$\{b, ab, aab, \dots\}$

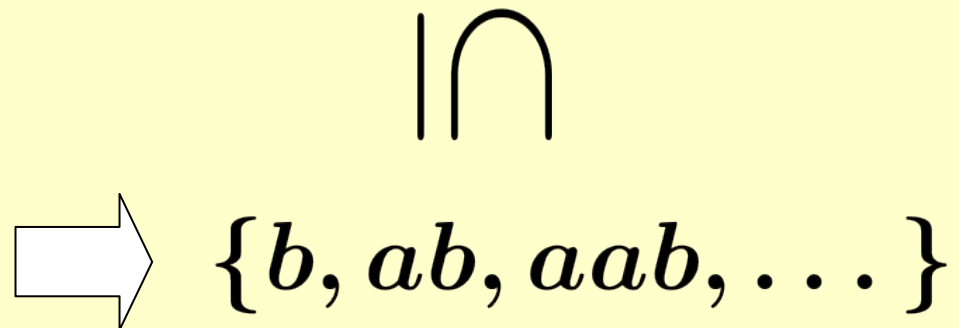
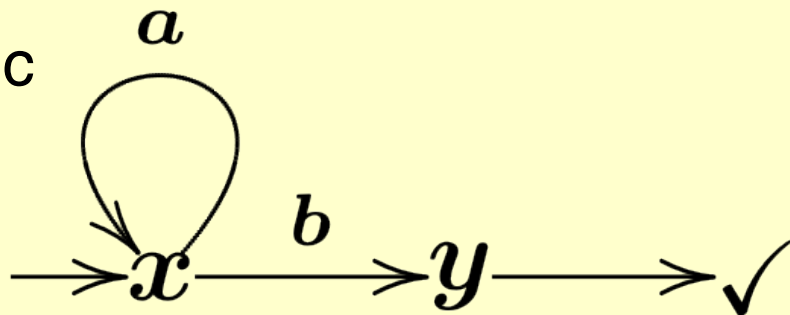
目標

- State-based system の trace inclusion を調べる
- Trace semantics = Linear-time behavior
- Trace inclusion = Trace Semantics の間の包含関係
- 例:非決定性オートマトンの場合

Impl



Spec

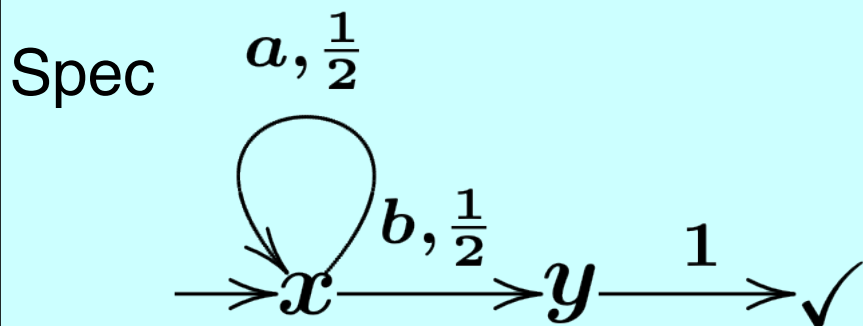
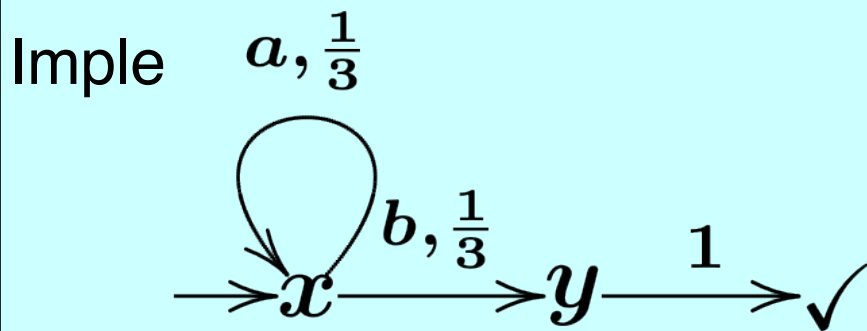


目標

- State-based system の trace inclusion を調べる
- Trace semantics = Linear-time behavior
- Trace inclusion = Trace Semantics の間の包含関係

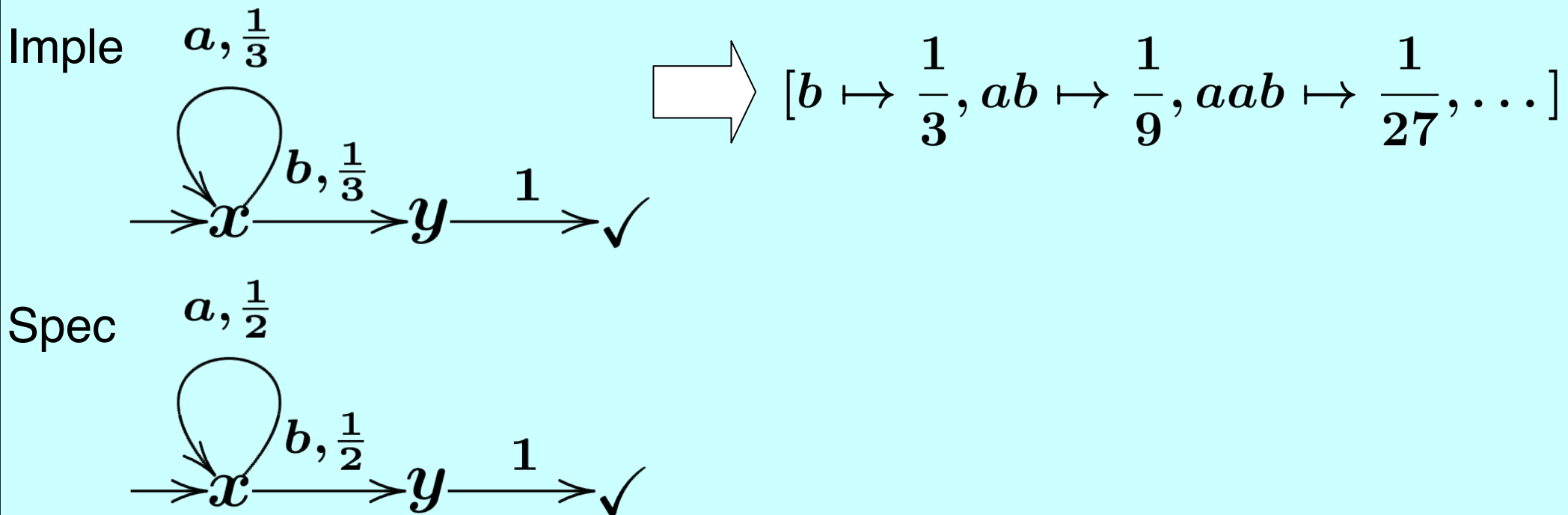
目標

- State-based system の trace inclusion を調べる
- Trace semantics = Linear-time behavior
- Trace inclusion = Trace Semantics の間の包含関係



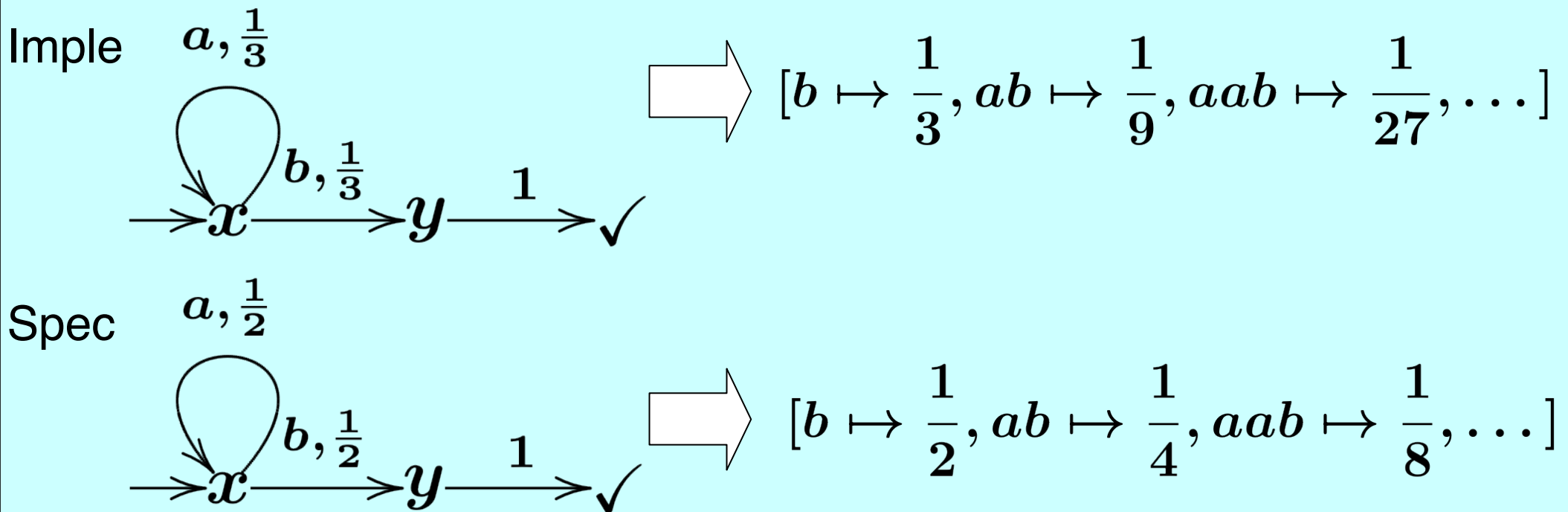
目標

- State-based system の trace inclusion を調べる
- Trace semantics = Linear-time behavior
- Trace inclusion = Trace Semantics の間の包含関係



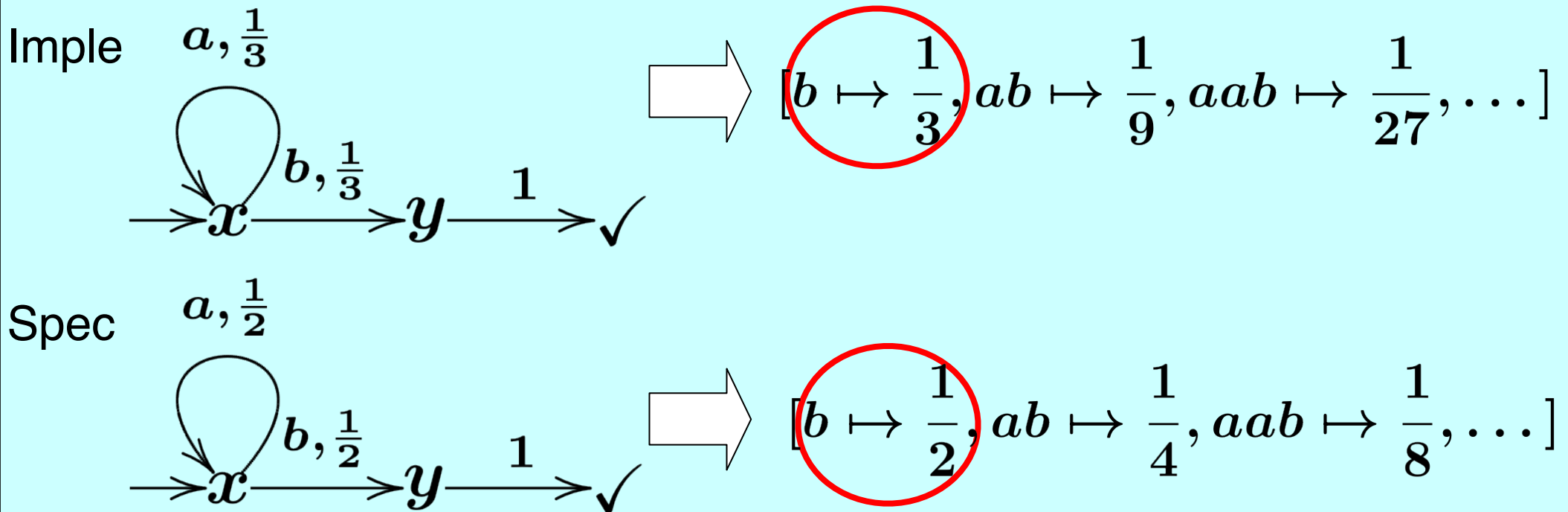
目標

- State-based system の trace inclusion を調べる
- Trace semantics = Linear-time behavior
- Trace inclusion = Trace Semantics の間の包含関係



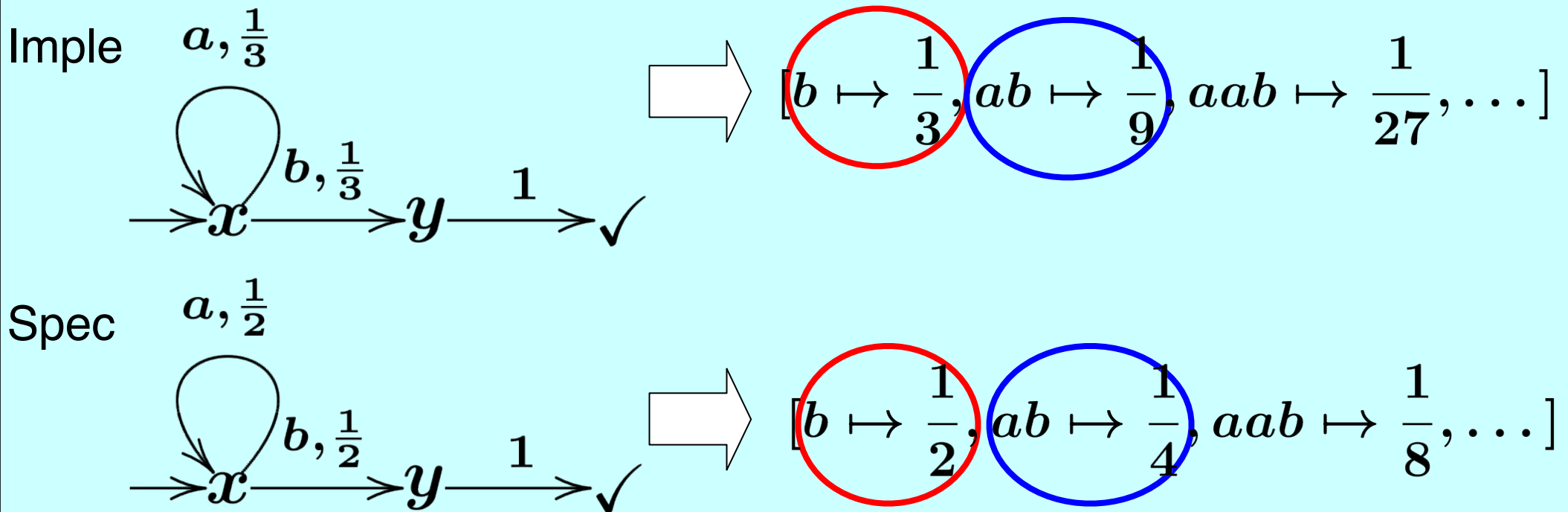
目標

- State-based system の trace inclusion を調べる
- Trace semantics = Linear-time behavior
- Trace inclusion = Trace Semantics の間の包含関係



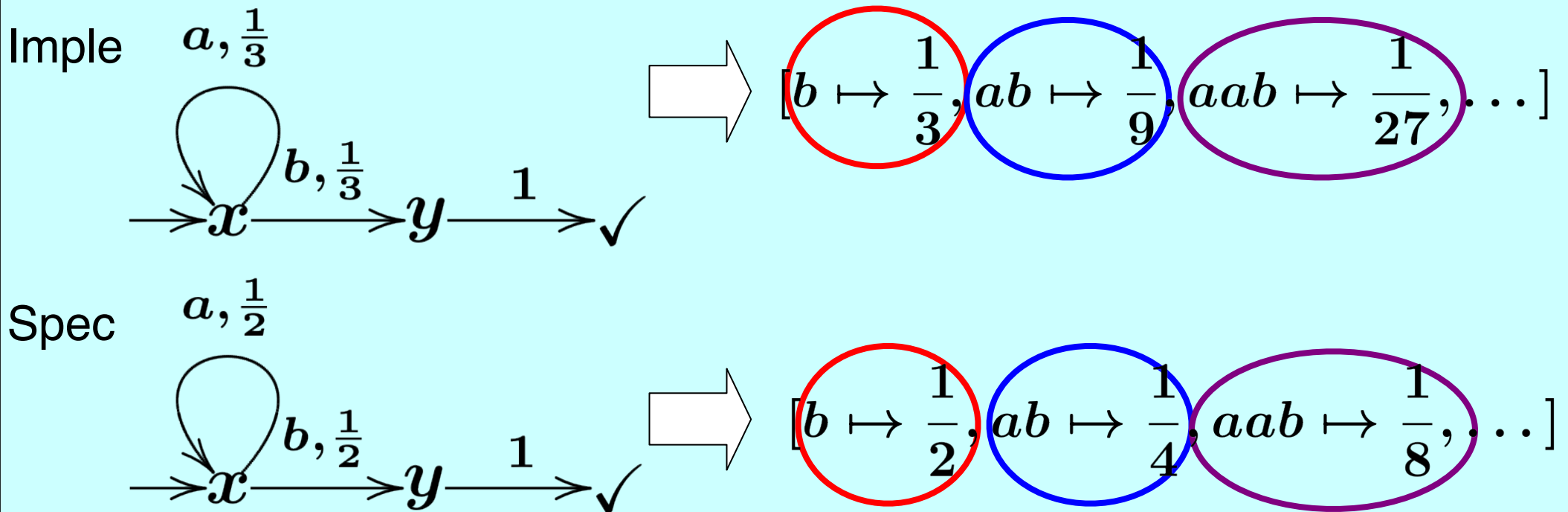
目標

- State-based system の trace inclusion を調べる
- Trace semantics = Linear-time behavior
- Trace inclusion = Trace Semantics の間の包含関係



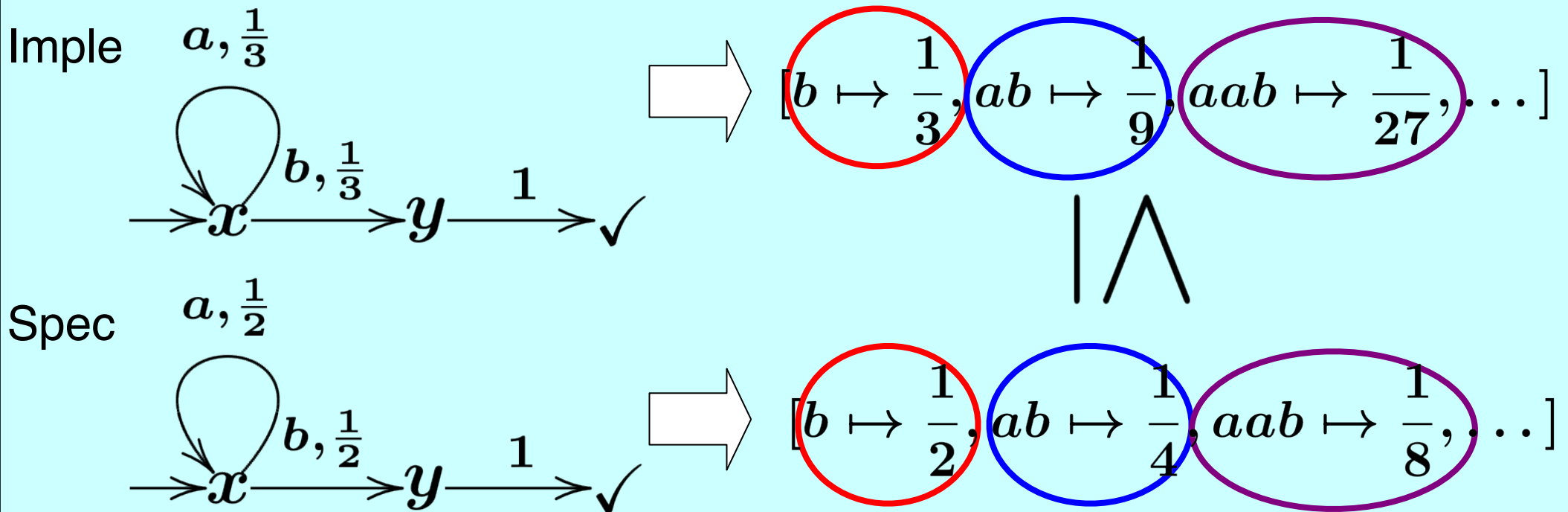
目標

- State-based system の trace inclusion を調べる
- Trace semantics = Linear-time behavior
- Trace inclusion = Trace Semantics の間の包含関係



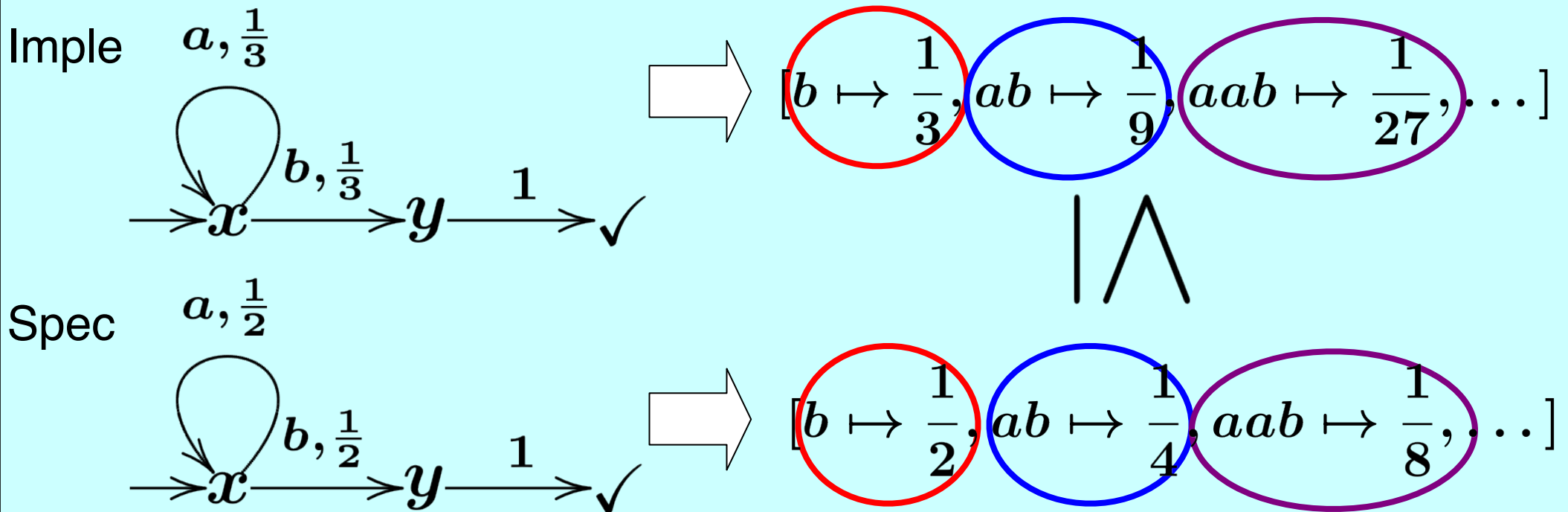
目標

- State-based system の trace inclusion を調べる
- Trace semantics = Linear-time behavior
- Trace inclusion = Trace Semantics の間の包含関係



目標

- State-based system の trace inclusion を調べる
- Trace semantics = Linear-time behavior
- Trace inclusion = Trace Semantics の間の包含関係
- 例:非決定性オートマトンの場合



目標

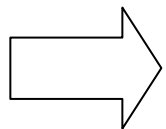
- State-based system の trace inclusion を調べる
- Trace semantics は普通は無限

$$\{b, ab, aab, \dots\} \quad [b \mapsto \frac{1}{2}, ab \mapsto \frac{1}{4}, aab \mapsto \frac{1}{8}, \dots]$$

目標

- State-based system の trace inclusion を調べる
- Trace semantics は普通は無限

$$\{b, ab, aab, \dots\} \quad [b \mapsto \frac{1}{2}, ab \mapsto \frac{1}{4}, aab \mapsto \frac{1}{8}, \dots]$$



自動で調べることは難しい

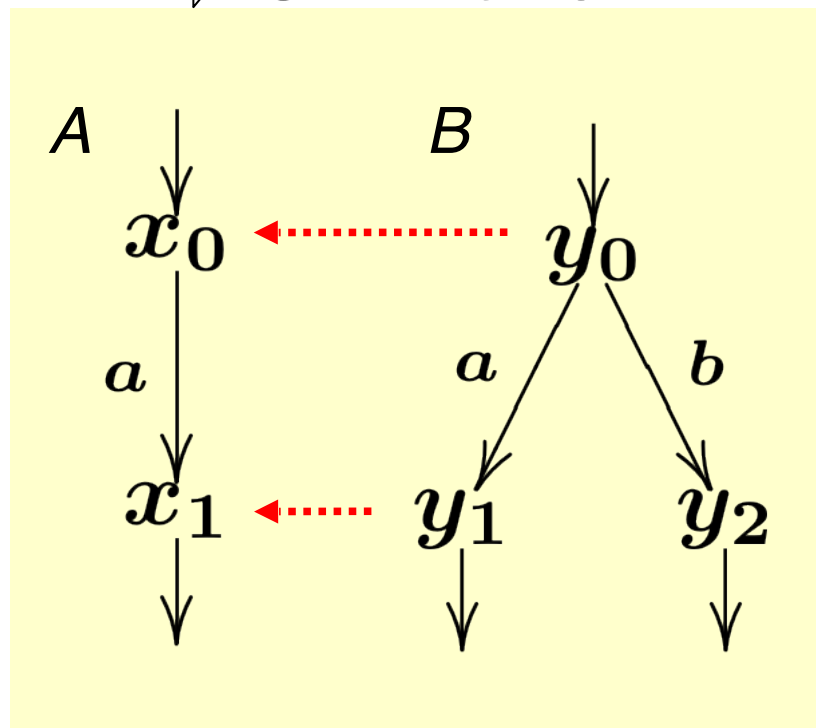
Simulation = Stepwise Trace Inclusion

- 全体の trace inclusion を調べる代わりに
stepwise な trace inclusion を調べる

Simulation = Stepwise Trace Inclusion

- 全体の trace inclusion を調べる代わりに
stepwise な trace inclusion を調べる

⇒ Simulation



$$R \subseteq A \times B \quad \text{s.t.} \\ xRy, x \xrightarrow{a} x' \Rightarrow \exists y'. y \xrightarrow{a} y', x'Ry'$$

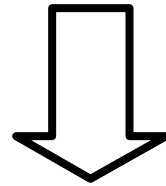
⇒ AからBへの
simulationが存在

健全性

A から B への simulation が存在

健全性

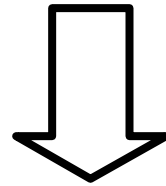
A から B への simulation が存在



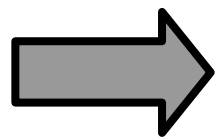
A の trace は B の trace に含まれる (trace inclusion)

健全性

A から B への simulation が存在



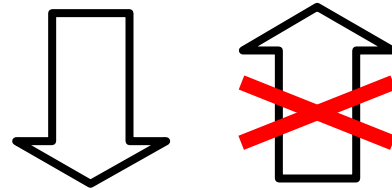
A の trace は B の trace に含まれる (trace inclusion)



健全性

健全性

A から B への simulation が存在

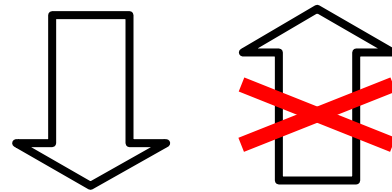


A の trace は B の trace に含まれる (trace inclusion)

 健全性

健全性

A から B への simulation が存在



A の trace は B の trace に含まれる (trace inclusion)

⇒ 健全性

⇒ 完全性は必ずしも成り立たない

Overview

- Simulation
- Kleisli Simulation
 - 1. Definition
 - 2. Searching Kleisli Simulation for Probabilistic System
- Contribution
 - 1. Implementation
 - 2. Increasing the Chance of Simulation
- Experimental Results and Comparison

Kleisli 圏による表現

- **Sets** 上の Kleisli 圏でシステムを表現

$$1 \xrightarrow{s} X \xrightarrow{c} \overline{F}X \quad \text{in } \mathcal{Kl}(T)$$

X . . . 状態集合

$s : 1 \rightarrow X$. . . 始状態

$c : X \rightarrow \overline{F}X$. . . 遷移

$$F : \mathbf{Sets} \rightarrow \mathbf{Sets}$$

$$\overline{F} : \mathcal{Kl}(T) \rightarrow \mathcal{Kl}(T)$$

Kleisli 圏による表現

- モナド T ごとに様々なシステム

例： $T = P$ ^{Powerset monad} $PX = \{A \subseteq X\}$

→ 非決定性オートマトン

$T = D$ ^{Subdistribution monad} $DX = \{f : X \rightarrow [0, 1] \mid \sum_x f(x) \leq 1\}$

→ 確率的オートマトン

Trace Semantics via Coinduction

(Hasuo, Jacobs, and Sokolova, 2006)

- Kleisli 圏を用いたtrace semantics の一般的な定義
- 様々な遷移系に trace semantics を定義できる

$$\begin{array}{c} \overline{FX} \\ \uparrow \\ \text{---}c \\ \text{---} \\ X \\ \uparrow \\ \text{---}s \\ \text{---} \\ 1 \end{array}$$

Trace Semantics via Coinduction

(Hasuo, Jacobs, and Sokolova, 2006)

- Kleisli 圏を用いたtrace semantics の一般的な定義
- 様々な遷移系に trace semantics を定義できる

$$\begin{array}{c} \overline{FX} \\ \uparrow \\ \text{---}c \\ \uparrow \\ X \\ \uparrow \\ \text{---}s \\ \uparrow \\ 1 \end{array}$$

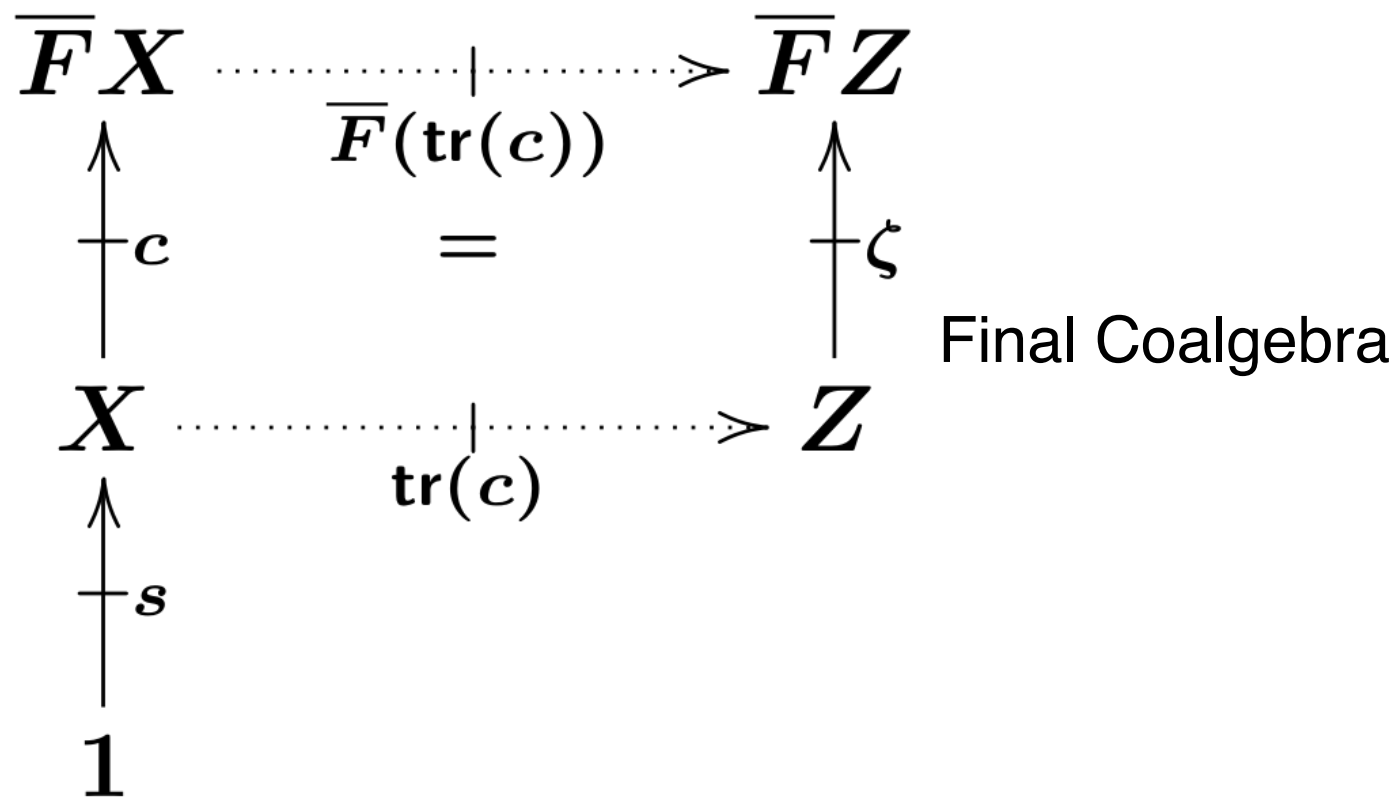
$$\begin{array}{c} \overline{FZ} \\ \uparrow \\ \text{---}\zeta \\ \uparrow \\ Z \end{array}$$

Final Coalgebra

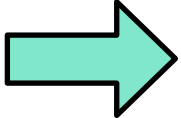
Trace Semantics via Coinduction

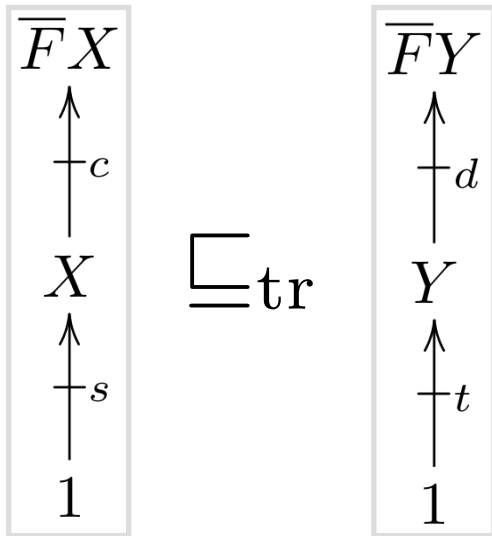
(Hasuo, Jacobs, and Sokolova, 2006)

- Kleisli 圏を用いた trace semantics の一般的な定義
- 様々な遷移系に trace semantics を定義できる

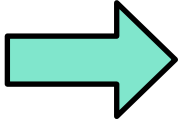


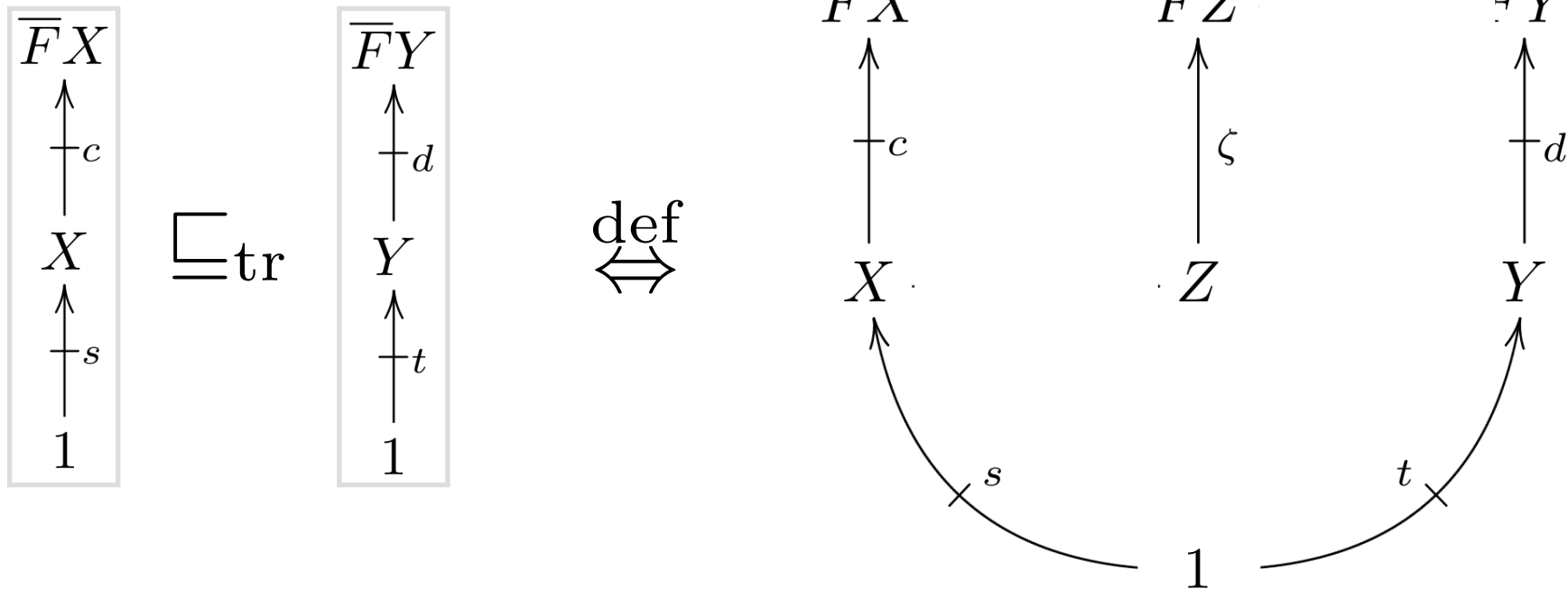
Trace Inclusion via Kleisli Category

- $Kl(T)$ の各 homset に順序 (Cppo) を入れる
  Trace inclusion が定義できる



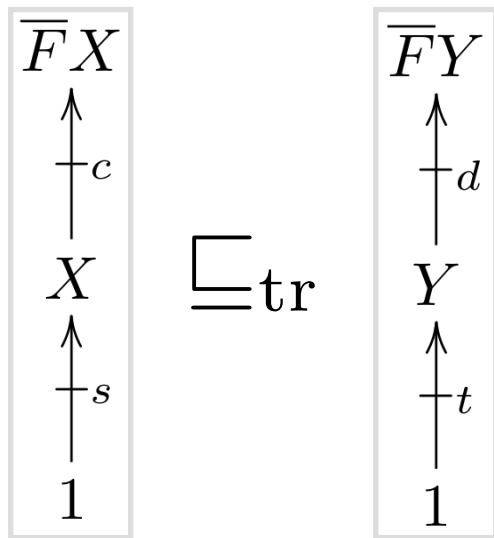
Trace Inclusion via Kleisli Category

- $Kl(T)$ の各 homset に順序 (Cppo) を入れる
 Trace inclusion が定義できる

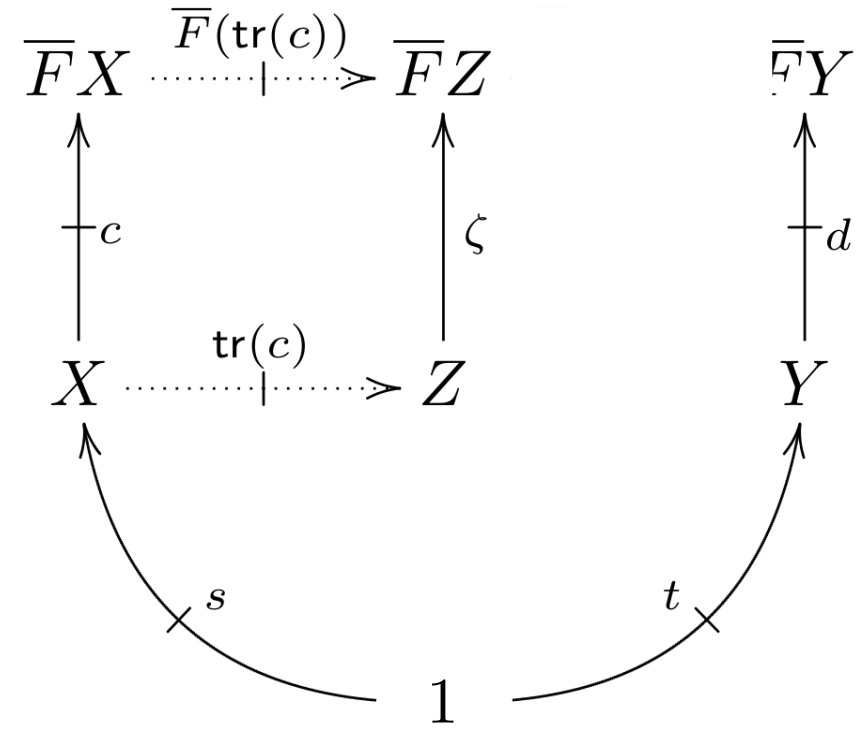


Trace Inclusion via Kleisli Category

- $Kl(T)$ の各 homset に順序 (Cppo) を入れる
➔ Trace inclusion が定義できる

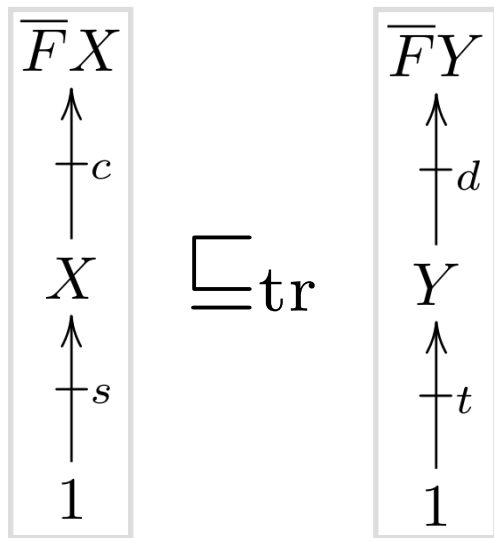


def \Leftrightarrow

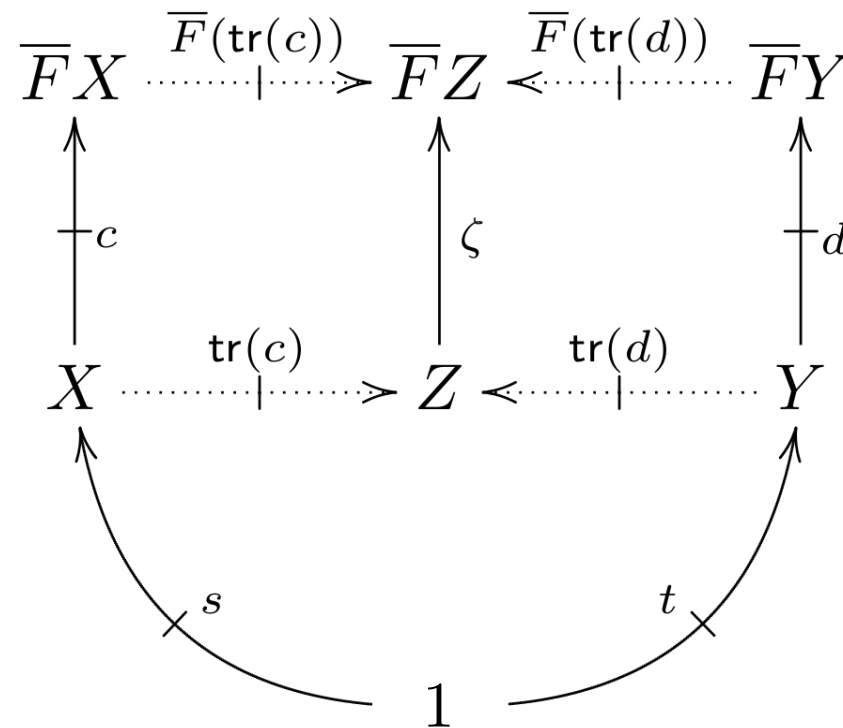


Trace Inclusion via Kleisli Category

- $Kl(T)$ の各 homset に順序 (Cppo) を入れる
➔ Trace inclusion が定義できる

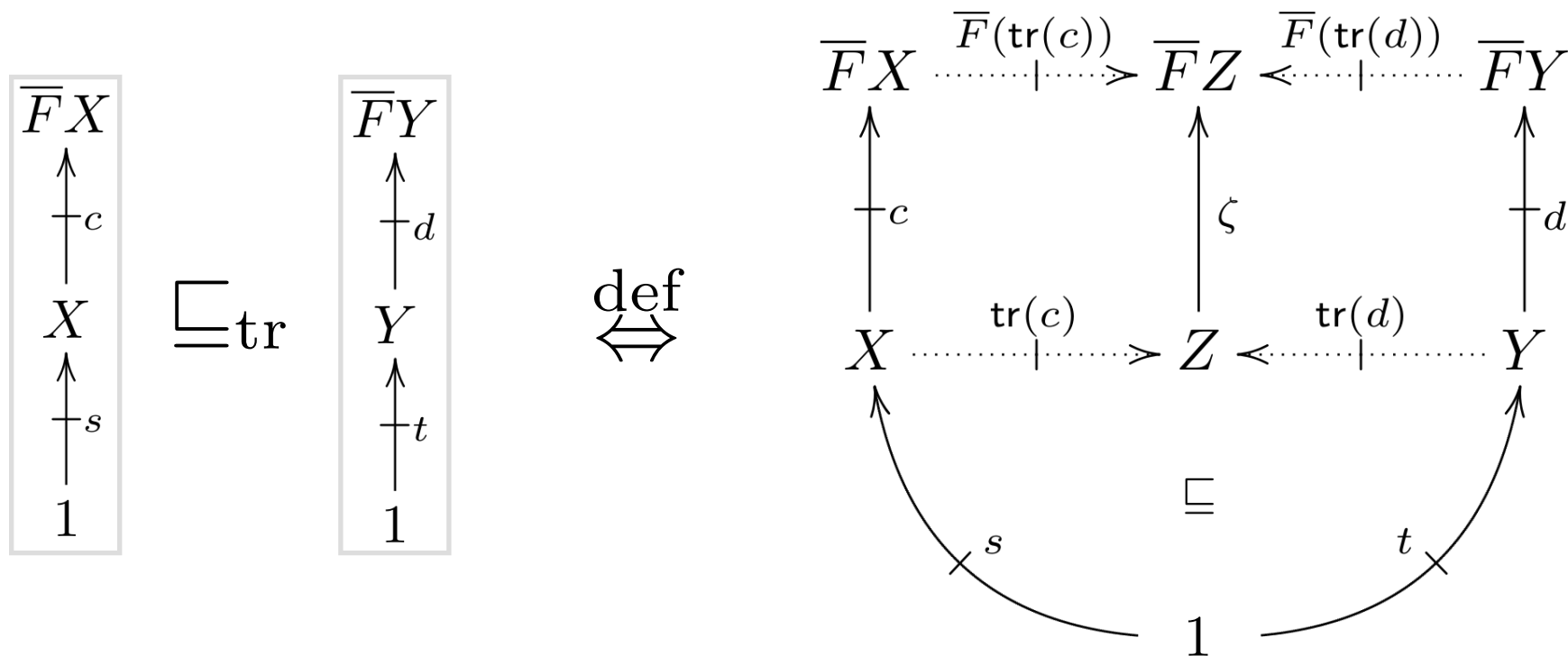


def \Leftrightarrow



Trace Inclusion via Kleisli Category

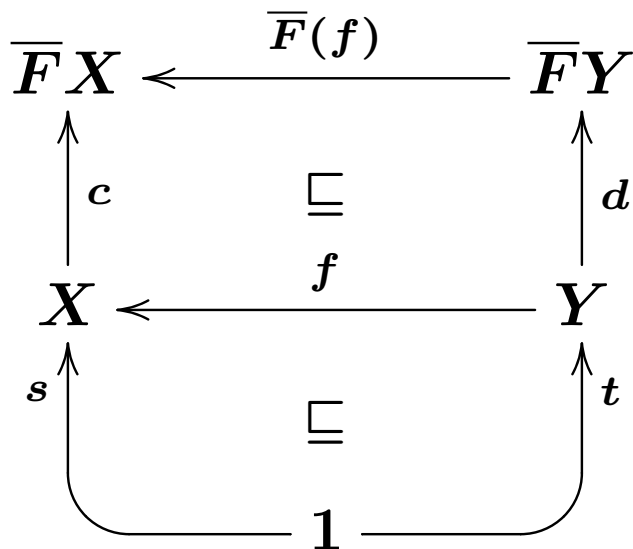
- $Kl(T)$ の各 homset に順序 (Cppo) を入れる
➔ Trace inclusion が定義できる



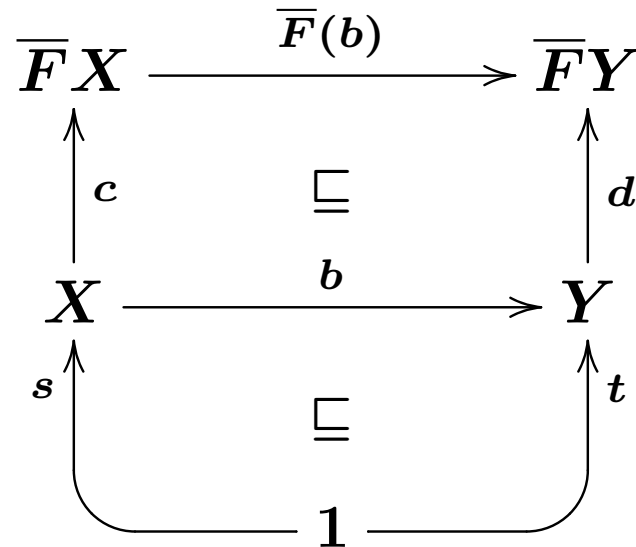
Kleisli Simulation (Hasuo, 2006)

- Kleisli 圏を用いたsimulation の一般的な定義
- 様々な遷移系に simulation (Kleisli simulation)を定義できる

Forward

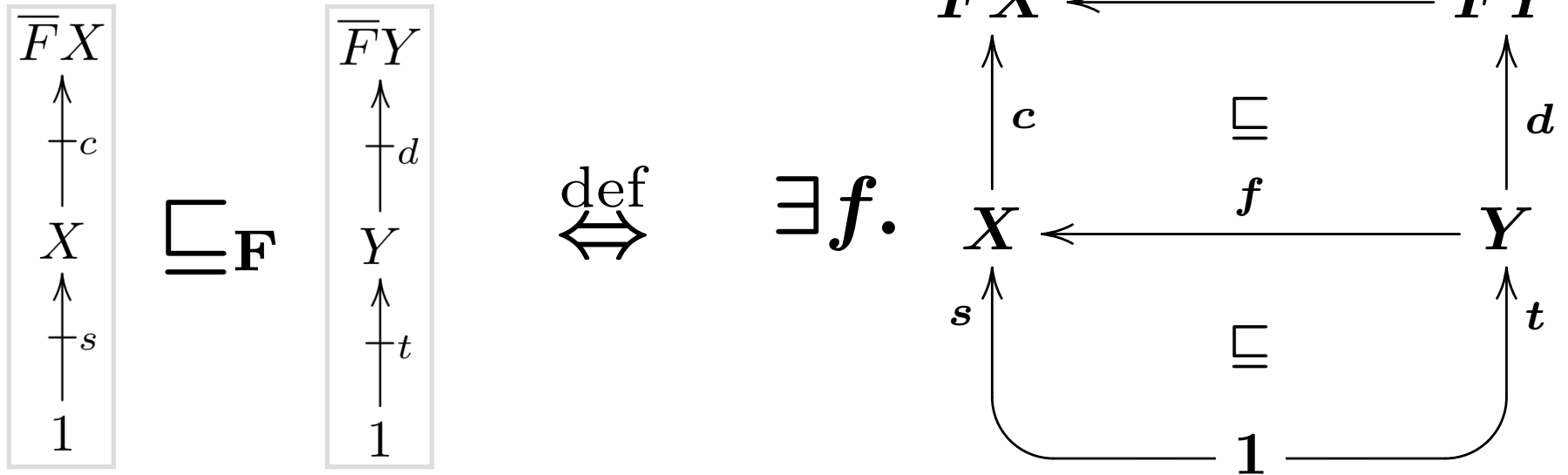


Backward



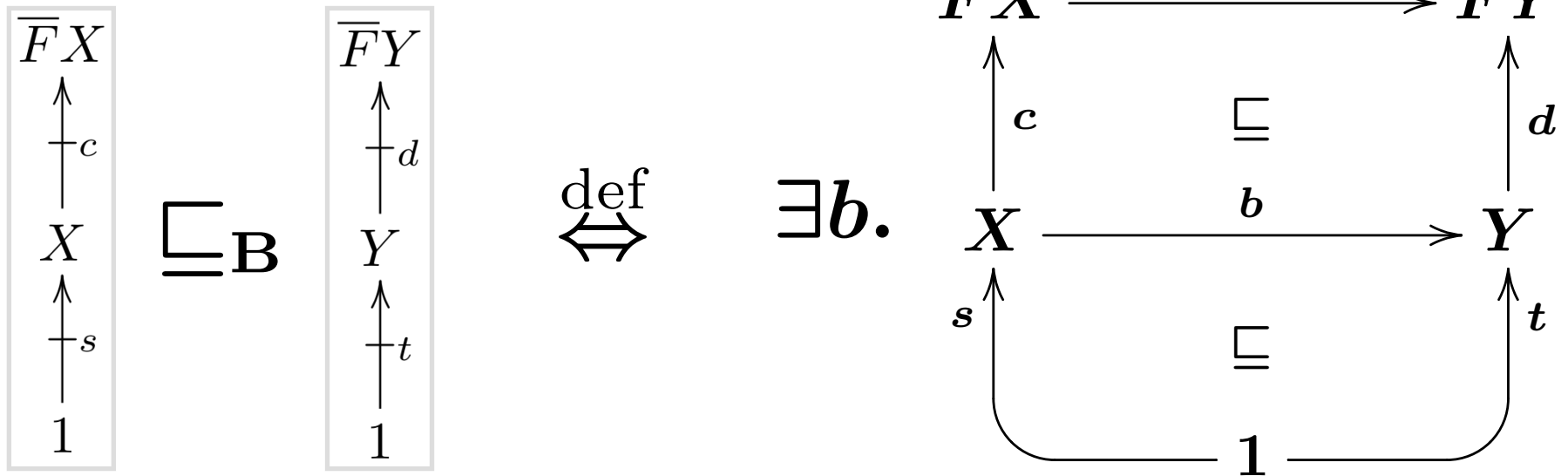
Kleisli Simulation

- Forward Simulation

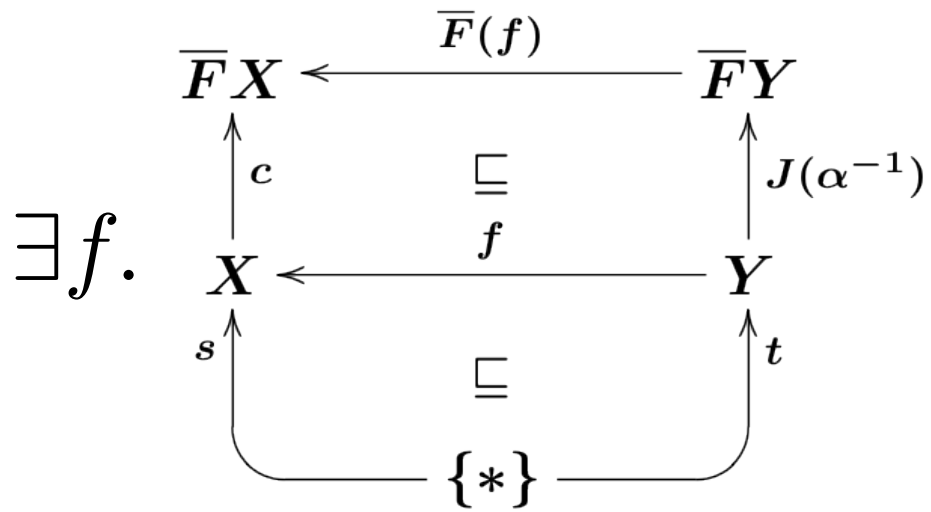


Kleisli Simulation

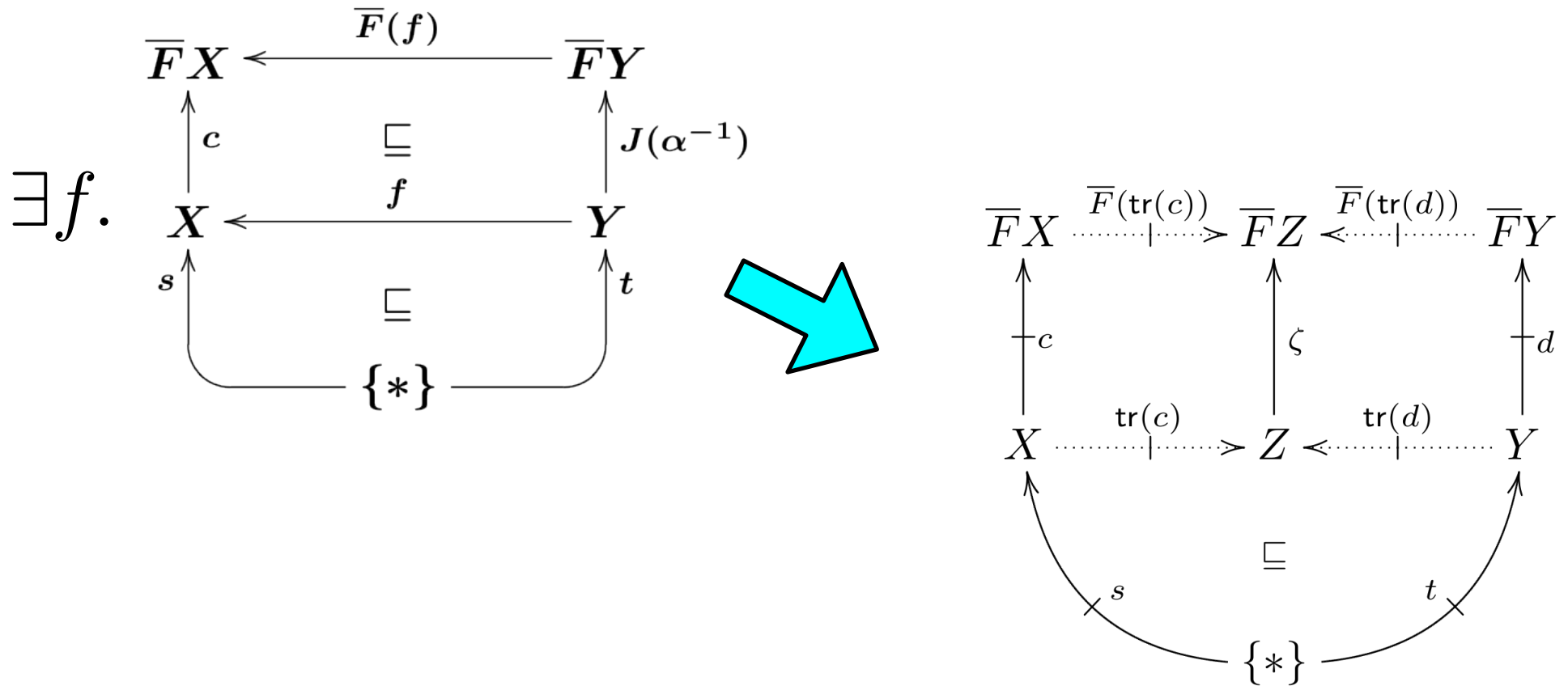
- Backward Simulation



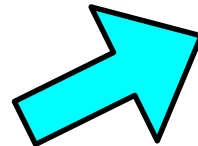
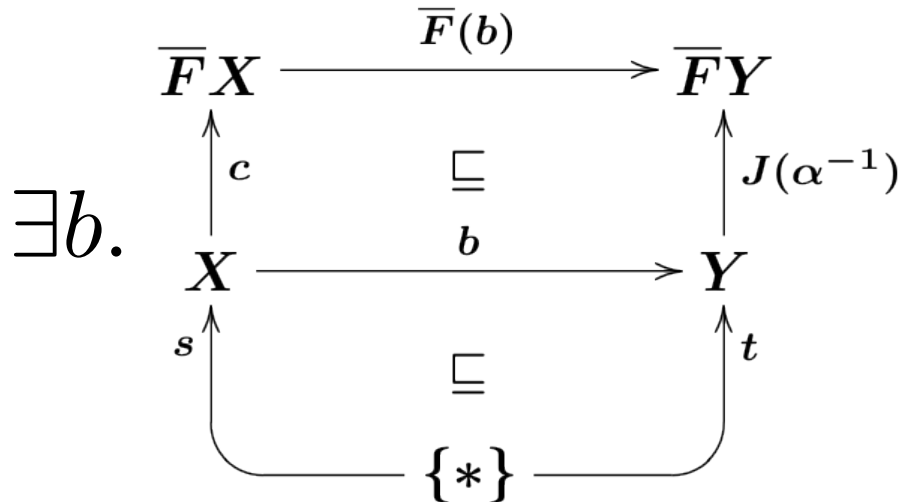
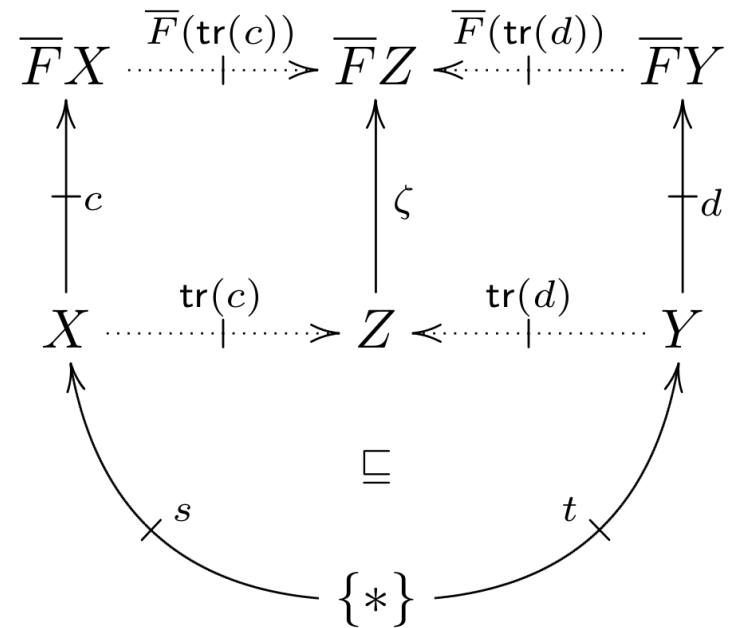
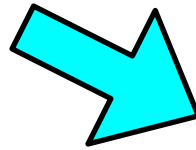
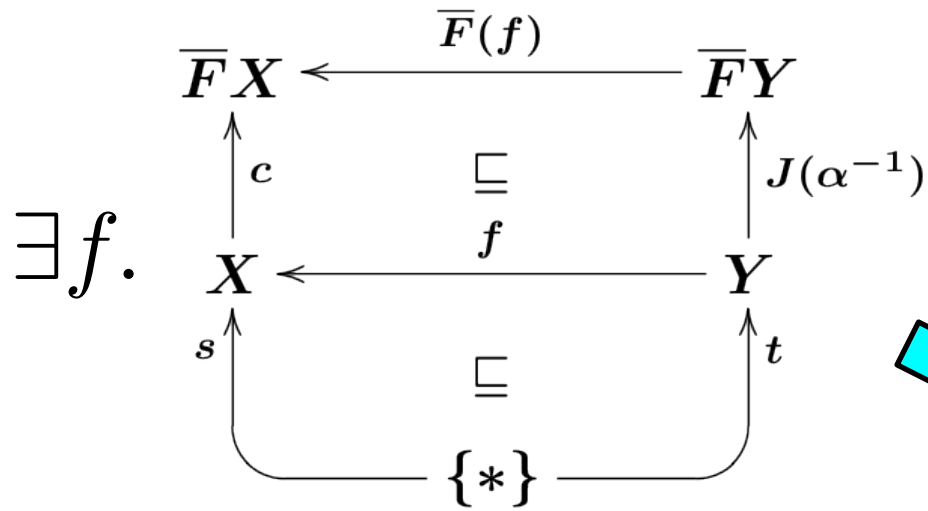
Kleisli Simulation の健全性 (Hasuo, 2006)



Kleisli Simulation の健全性 (Hasuo, 2006)



Kleisli Simulation の健全性 (Hasuo, 2006)



Overview

- Simulation
- Kleisli Simulation
 1. Definition
 2. Searching Kleisli Simulation for Probabilistic System
- Contribution
 1. Implementation
 2. Increasing the Chance of Simulation
- Experimental Results and Comparison

$\mathcal{Kl}(D)$ での Kleisli Simulation の探索

- $\mathcal{Kl}(D)$ の射は行列で表現できる

$$f : X \rightarrow Y$$

$\mathcal{Kl}(D)$ での Kleisli Simulation の探索

- $\mathcal{Kl}(D)$ の射は行列で表現できる

$$f : X \rightarrow DY$$

$\mathcal{Kl}(D)$ での Kleisli Simulation の探索

- $\mathcal{Kl}(D)$ の射は行列で表現できる

$$f : X \rightarrow DY \quad \longrightarrow \quad M_f = (f(x)(y))_{x,y}$$

$\mathcal{Kl}(D)$ での Kleisli Simulation の探索

- $\mathcal{Kl}(D)$ の射は行列で表現できる

$$f : X \rightarrow DY \quad \longrightarrow \quad M_f = (f(x)(y))_{x,y}$$

- Kleisli Simulation の探索は行列の探索に帰着

$\mathcal{Kl}(D)$ での Kleisli Simulation の探索

- $\mathcal{Kl}(D)$ の射は行列で表現できる

$$f : X \rightarrow DY \quad \longrightarrow \quad M_f = (f(x)(y))_{x,y}$$

- Kleisli Simulation の探索は行列の探索に帰着

$$\exists f. \begin{array}{ccc} \overline{F}X & \xleftarrow{\overline{F}(f)} & \overline{F}Y \\ \uparrow c & \sqsubseteq & \uparrow d \\ X & \xleftarrow{f} & Y \\ \uparrow s & \sqsubseteq & \uparrow t \\ & \{*\} & \end{array}$$

$\mathcal{Kl}(D)$ での Kleisli Simulation の探索

- $\mathcal{Kl}(D)$ の射は行列で表現できる

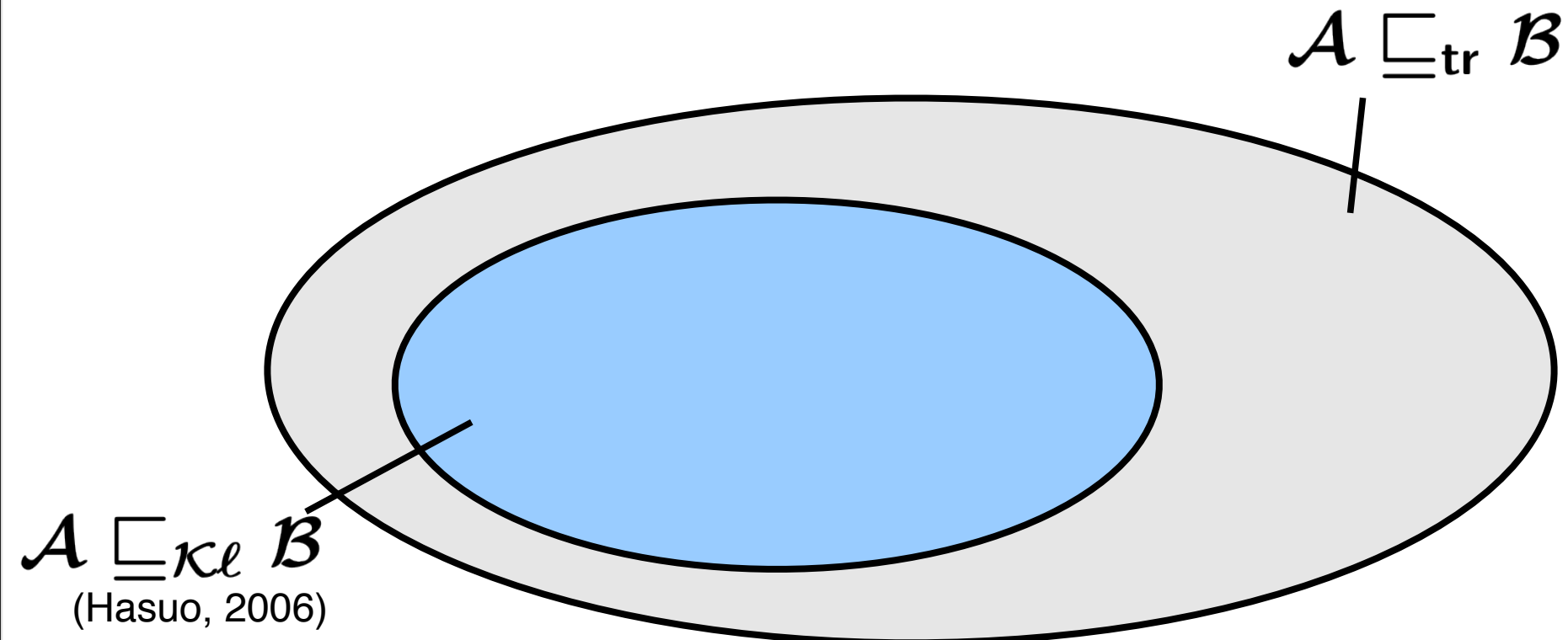
$$f : X \rightarrow DY \quad \longrightarrow \quad M_f = (f(x)(y))_{x,y}$$

- Kleisli Simulation の探索は行列の探索に帰着

$$\exists f. \begin{array}{ccc} \overline{F}X & \xleftarrow{\overline{F}(f)} & \overline{F}Y \\ \uparrow c & \sqsubseteq & \uparrow d \\ X & \xleftarrow{f} & Y \\ \uparrow s & \sqsubseteq & \uparrow t \\ & \{*\} & \end{array} \iff \begin{array}{l} \exists M_f. \\ M_f M_c \leq M_d M_{\overline{F}f} \\ M_s \leq M_t M_f \end{array}$$

確率的オートマトンのKleisli Simulation

- 確率的オートマトンの trace inclusion は
決定不能 (Blondel & Canterni, 2003)

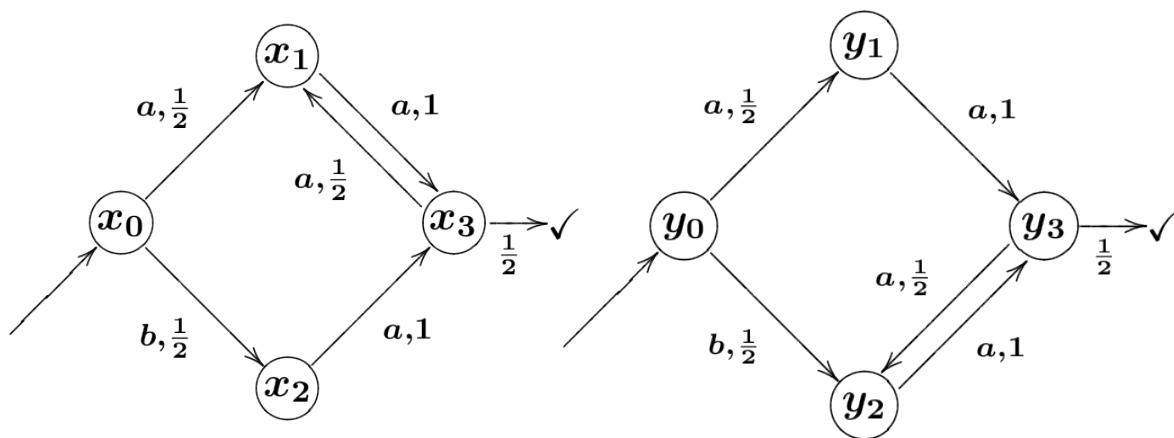


確率的オートマトンの Kleisli Simulation

- 確率的オートマトンの trace inclusion は

決定不能 (Blondel & Canterni, 2003)

$A \sqsubseteq_{tr} B$



$A \sqsubseteq_{kle} B$
(Hasuo, 2006)

Overview

- Simulation
- Kleisli Simulation
 1. Definition
 2. Searching Kleisli Simulation for Probabilistic System
- **Contribution**
 1. **Implementation**
 2. **Increasing the Chance of Simulation**
- Experimental Results and Comparison

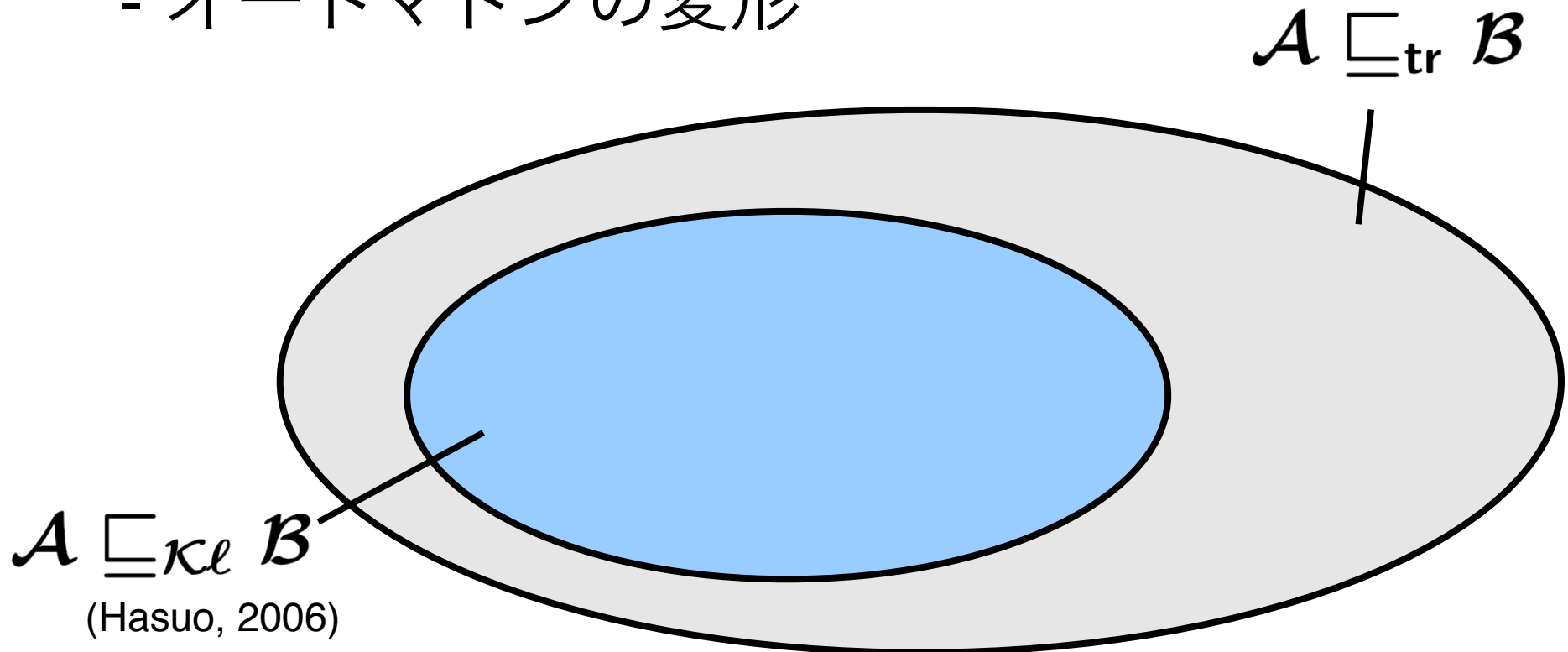
Contributions

1. 線形不等式を解くことで確率的オートマトンの Kleisli simulation を調べるプログラムを実装

Contributions

2. Kleisli simulation を存在しやすくする工夫

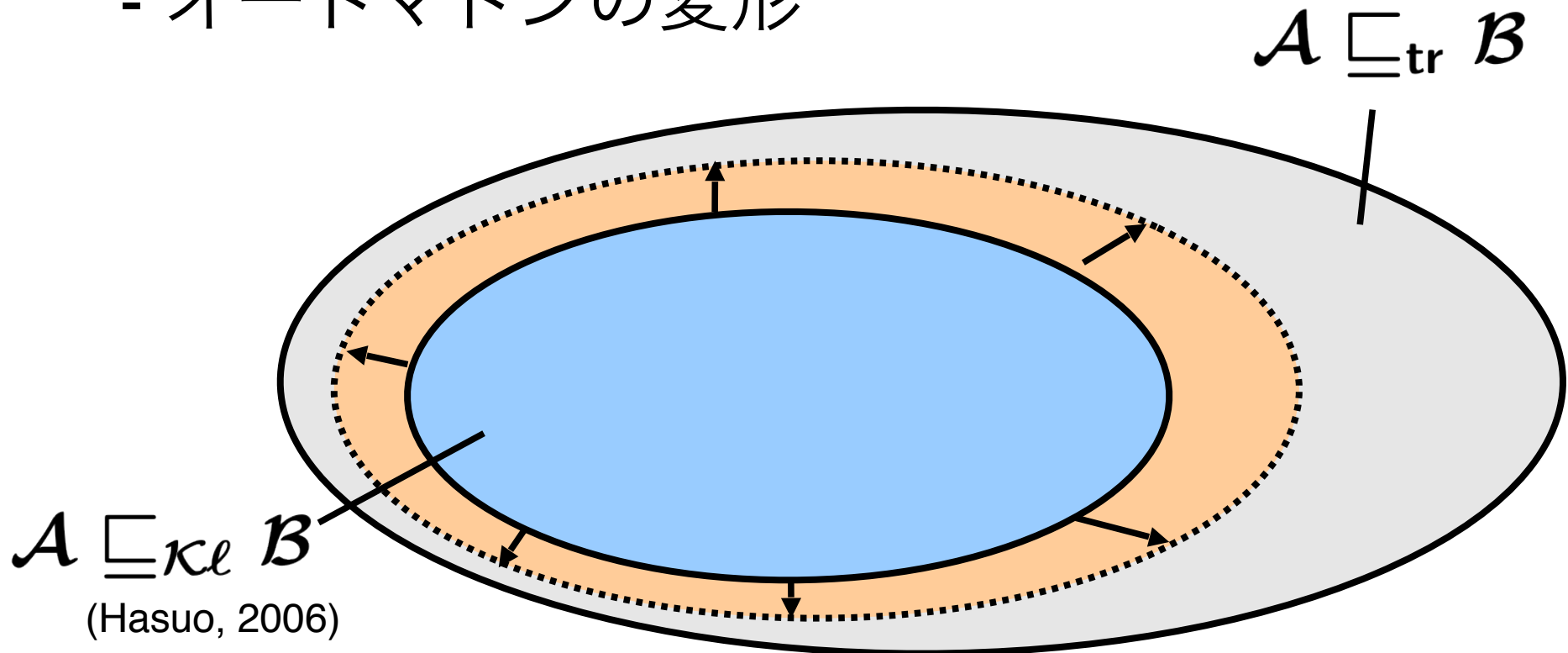
- Subdistribution Monad \rightarrow Multiset Monad
- オートマトンの変形



Contributions

2. Kleisli simulation を存在しやすくする工夫

- Subdistribution Monad \rightarrow Multiset Monad
- オートマトンの変形



Subdistribution Monad \rightarrow Multiset Monad

$$MX = \{f : X \rightarrow [0, \infty] \mid \text{supp}(f) \text{ is countable}\}$$

- モナド

Subdistribution Monad

$$\mathcal{D}X = \{f : X \rightarrow [0, 1] \mid \sum_x f(x) \leq 1\}$$

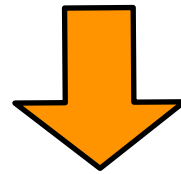
Subdistribution Monad \rightarrow Multiset Monad

$$MX = \{f : X \rightarrow [0, \infty] \mid \text{supp}(f) \text{ is countable}\}$$

- モナド

Subdistribution Monad

$$\mathcal{D}X = \{f : X \rightarrow [0, 1] \mid \sum_x f(x) \leq 1\}$$



Multiset Monad

$$\mathcal{M}X = \{f : X \rightarrow [0, \infty] \mid \text{supp}(f) \text{ is countable}\}$$

Subdistribution Monad \rightarrow Multiset Monad

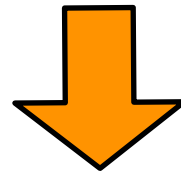
$$MX = \{f : X \rightarrow [0, \infty] \mid \text{supp}(f) \text{ is countable}\}$$

- モナド

Subdistribution Monad

$$\mathcal{D}X = \{f : X \rightarrow [0, 1] \mid \sum_x f(x) \leq 1\}$$

確率的オートマトン



Multiset Monad

$$\mathcal{M}X = \{f : X \rightarrow [0, \infty] \mid \text{supp}(f) \text{ is countable}\}$$

Subdistribution Monad \rightarrow Multiset Monad

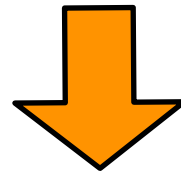
$$MX = \{f : X \rightarrow [0, \infty] \mid \text{supp}(f) \text{ is countable}\}$$

- モナド

Subdistribution Monad

$$\mathcal{D}X = \{f : X \rightarrow [0, 1] \mid \sum_x f(x) \leq 1\}$$

確率的オートマトン



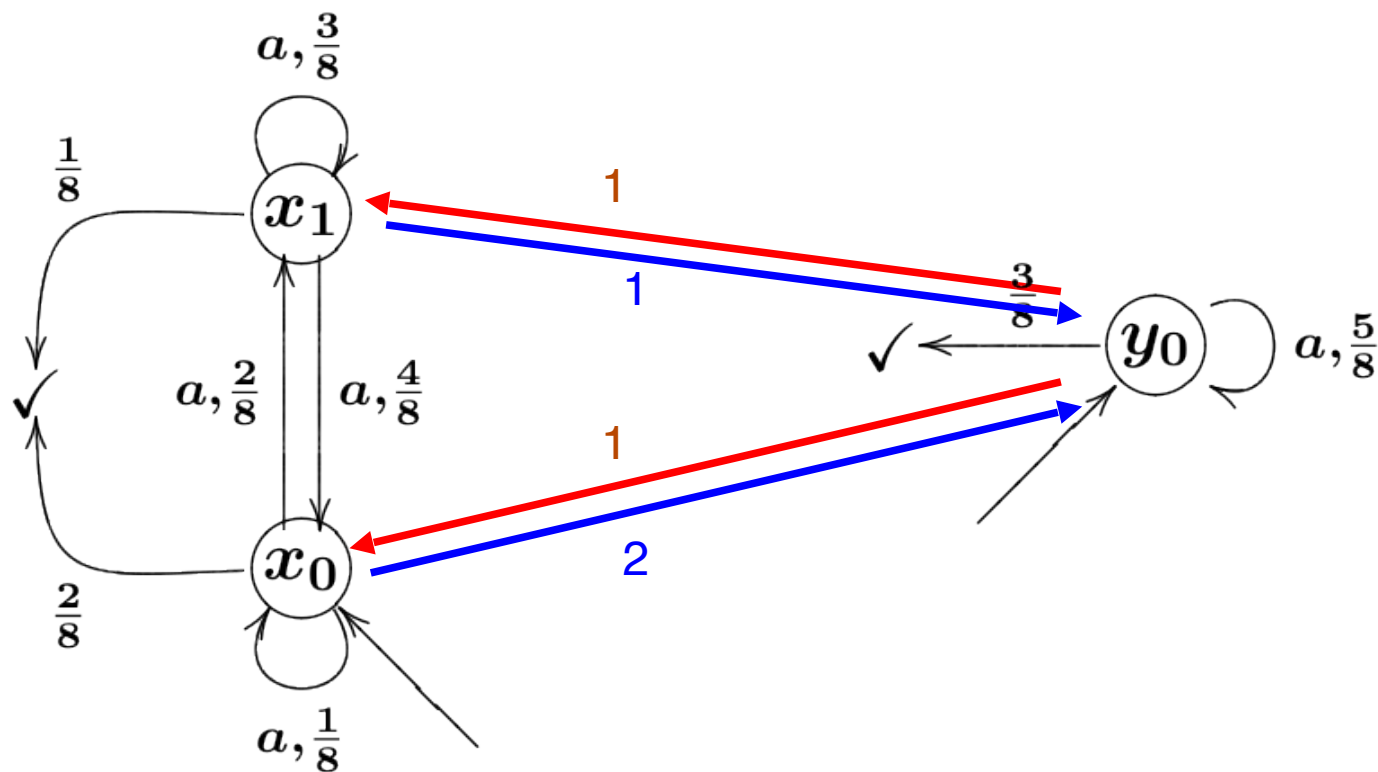
Multiset Monad

$$\mathcal{M}X = \{f : X \rightarrow [0, \infty] \mid \text{supp}(f) \text{ is countable}\}$$

実数重み付きオートマトン

確率 → 実数重み

- 新しく Kleisli simulation が見つかることがある

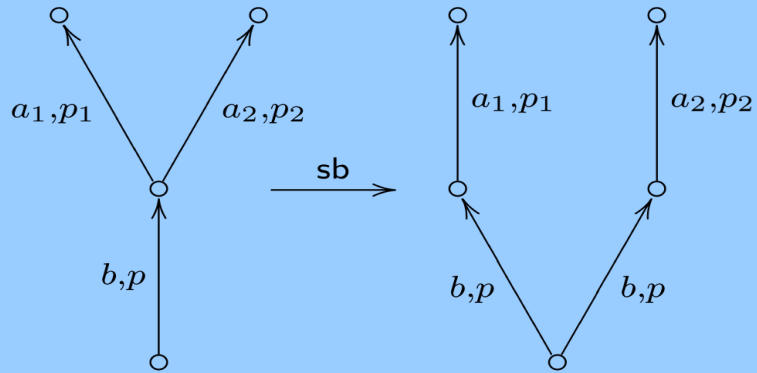


オートマトンの変形

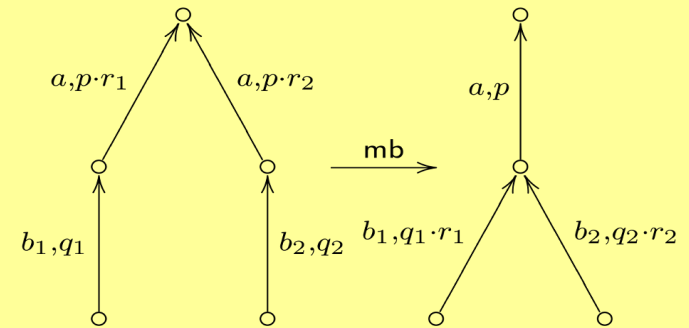
- オートマトンを変形し、
Kleisli simulation を存在しやすく

4種の変形

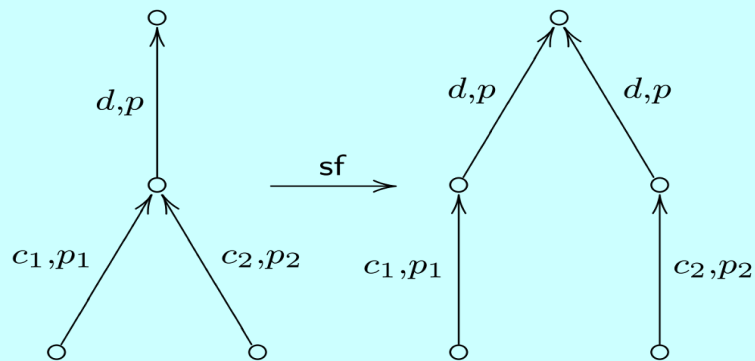
Split Backward



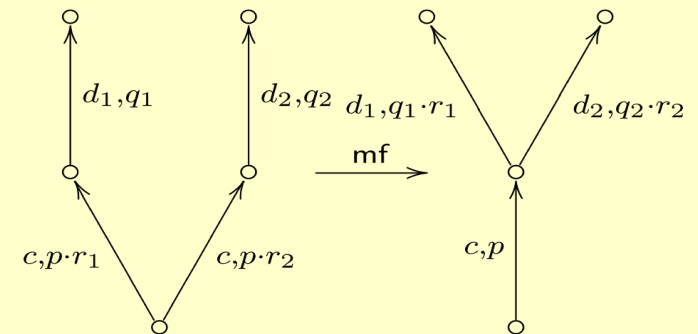
Merge Backward



Split Forward

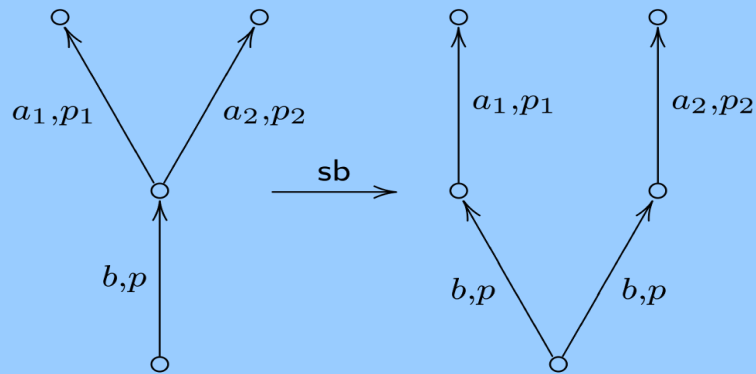


Merge Forward

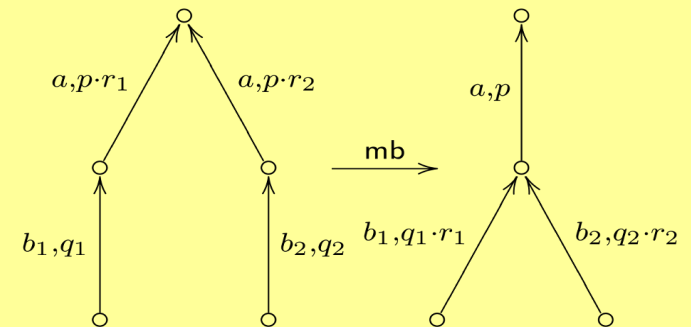


変形の性質

Split Backward

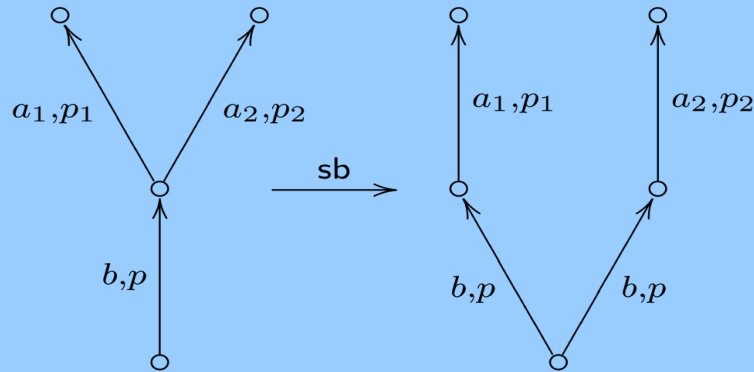


Merge Backward

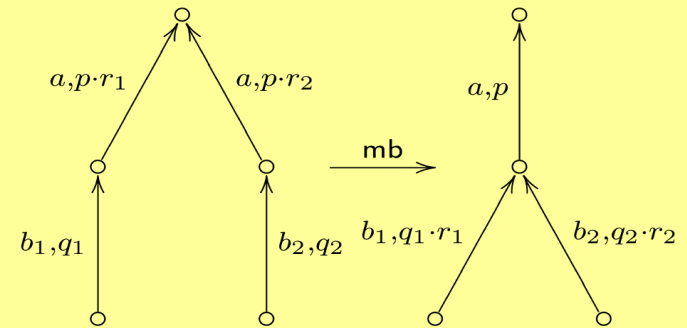


変形の性質

Split Backward



Merge Backward

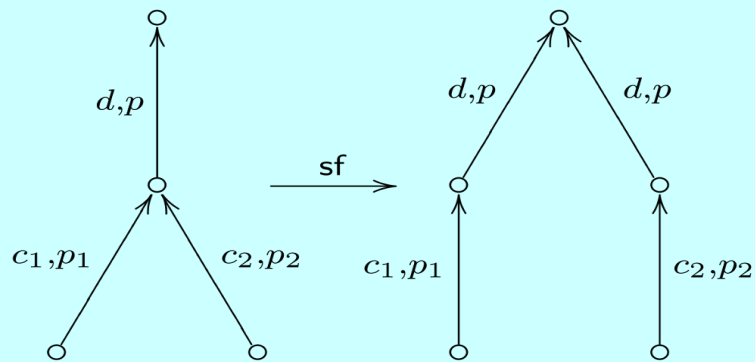


Forward Simulationの左側 } に「適切」な変形
 Backward Simulationの右側 }

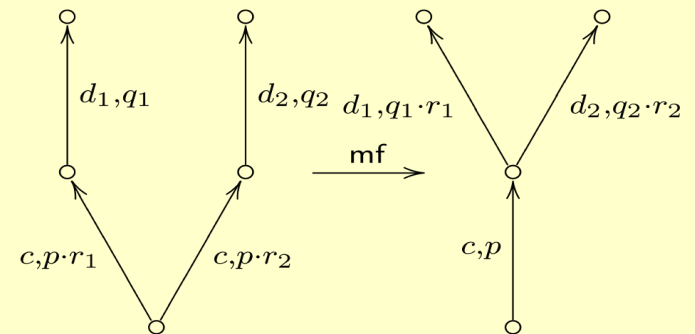
$$\textcircled{A} \sqsubseteq_{\mathbf{F}} B \quad A \sqsubseteq_{\mathbf{B}} \textcircled{B}$$

変形の性質

Split Forward



Merge Forward

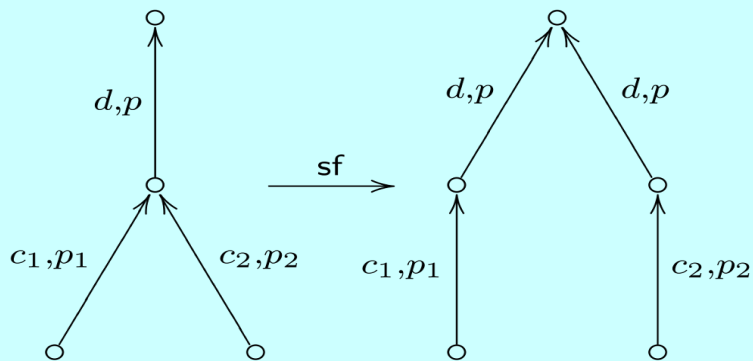


変形の性質

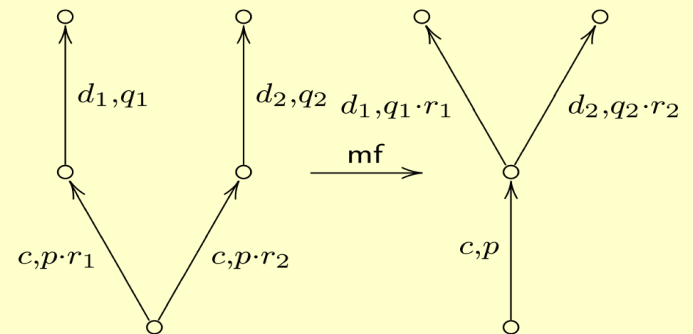
Forward Simulationの右側 } に「適切」な変形
 Backward Simulationの左側 }

$$A \sqsubseteq_F \mathcal{B} \quad \mathcal{A} \sqsubseteq_B B$$

Split Forward



Merge Forward



変形の性質

- 適切な変形は Kleisli simulation の健全性を保つ

$$\begin{array}{ccc} \mathcal{A}' \sqsubseteq_{\mathbf{F}} \mathcal{B}' & \begin{array}{c} \searrow \\ \swarrow \end{array} & \mathcal{A} \sqsubseteq_{\text{tr}} \mathcal{B} \\ \mathcal{A}' \sqsubseteq_{\mathbf{B}} \mathcal{B}' & & \end{array}$$

- 適切な変形は既存の Kleisli simulation を壊さない

$$\mathcal{A} \sqsubseteq_{\mathbf{F}} \mathcal{B} \quad \Rightarrow \quad \mathcal{A}' \sqsubseteq_{\mathbf{F}} \mathcal{B}'$$

$$\mathcal{A} \sqsubseteq_{\mathbf{B}} \mathcal{B} \quad \Rightarrow \quad \mathcal{A}' \sqsubseteq_{\mathbf{B}} \mathcal{B}'$$

変形の性質

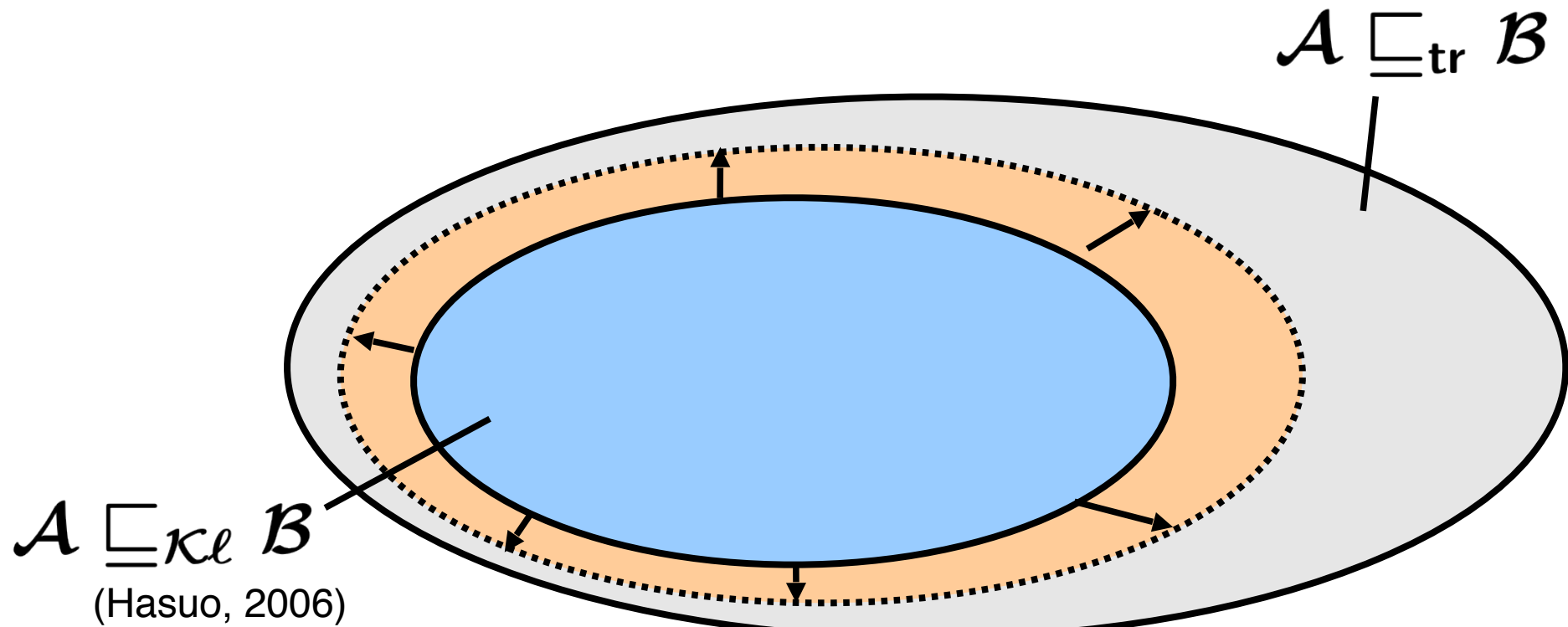
- これ以上変形できないオートマトンの間の
Kleisli simulation は**完全**

変形の性質

- これ以上変形できないオートマトンの間の
Kleisli simulation は**完全**
- 普通は無限回変形できる

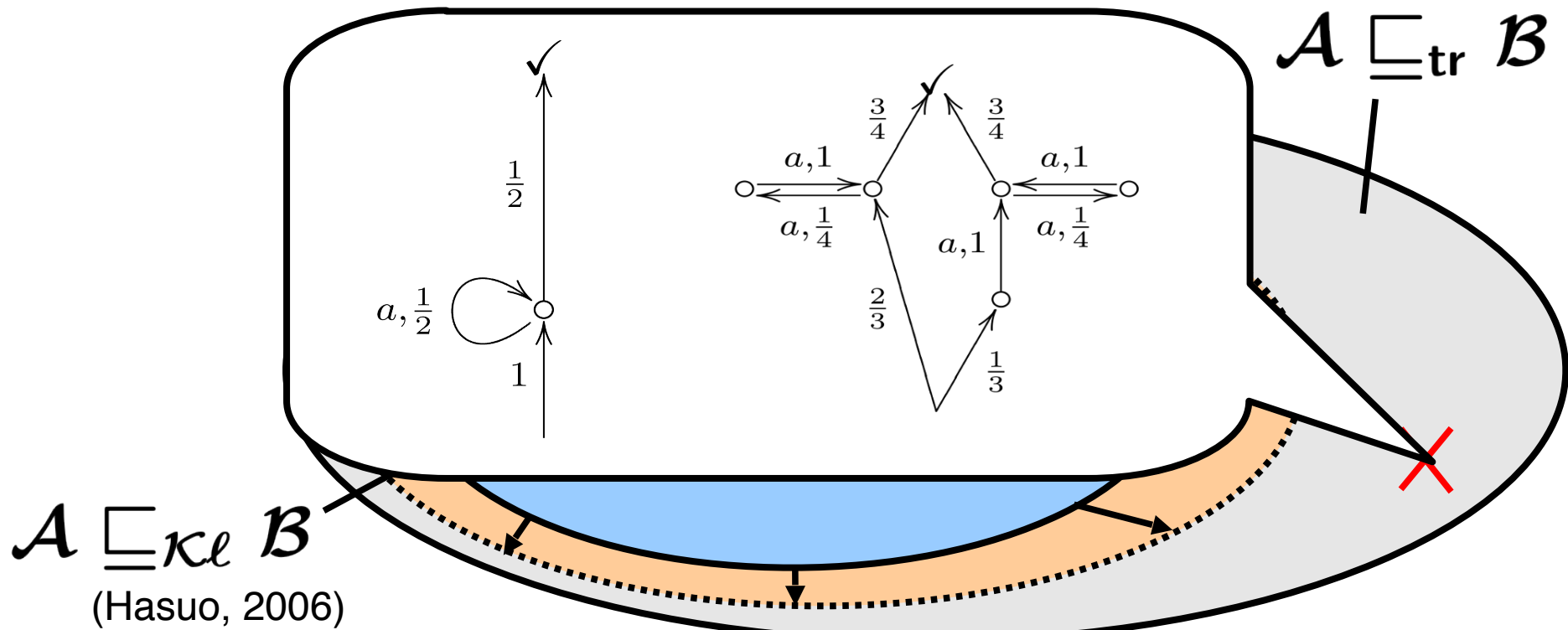
変形の性質

- 確率的オートマトンのtrace inclusion は半決定不能
- 何度変形してもKleisli simulationが存在するようにならないことがある



変形の性質

- 確率的オートマトンのtrace inclusion は半決定不能
- 何度変形してもKleisli simulationが存在するようにならないことがある



Overview

- Simulation
- Kleisli Simulation
 1. Definition
 2. Searching Kleisli Simulation for Probabilistic System
- Contribution
 1. Implementation
 2. Increasing the Chance of Simulation
- **Experimental Results and Comparison**

実装

- Kleisli simulation を探すプログラム
 - 線形計画問題ソルバを用いて線形不等式を解く
 - GLPK (GNU Linear Programmin Kit) © Andrew Makhorin
 - 単体法
- オートマトンを変形するプログラム

実験結果

- Grade protocol の正しさの検証
- オートマトンの等価性を調べることで検証できる

(Kiefer et al. 2011)

parm		protocol		specific		al	type dir	f/b	time(sec)		space (GB)	ex
G	S	st	tr	st	tr				user	real		
2	8	578	1522	130	642	11	$p \rightarrow s$	fwd	1.77	2.00	1.21	E
								bwd	2.03	2.20	1.21	N
							$s \rightarrow p$	fwd	1.94	2.08	1.14	N
								bwd	1.72	1.88	1.22	E
2	10	1102	2982	202	1202	13	$p \rightarrow s$	fwd	9.42	9.95	4.05	E
								bwd	11.51	12.00	4.08	N
							$s \rightarrow p$	fwd	10.99	11.45	3.82	N
								bwd	9.25	9.81	4.09	E
2	12	1874	5162	290	2018	15	$p \rightarrow s$	fwd	38.60	40.16	11.51	E
								bwd	49.03	50.38	11.60	N
							$s \rightarrow p$	fwd	47.99	49.40	10.83	N
								bwd	38.34	39.78	11.63	E
3	8	1923	7107	243	2163	20	$p \rightarrow s$	fwd	44.43	62.04	12.26	E
								bwd	56.92	79.31	12.59	N
							$s \rightarrow p$	fwd	55.48	57.12	12.27	N
								bwd	44.11	67.60	12.64	E
4	6	1636	7468	196	1924	23	$p \rightarrow s$	fwd	30.28	31.64	10.39	E
								bwd	38.79	39.97	10.49	N
							$s \rightarrow p$	fwd	37.86	39.10	9.79	N
								bwd	29.94	31.25	10.49	E

実験結果

- Grade protocol の正しさの検証
- オートマトンの等価性を調べることで検証できる

(Kiefer et al. 2011)

parm		protocol		specific		al	type dir	f/b	time(sec)		space (GB)	ex
G	S	st	tr	st	tr				user	real		
2	8	578	1522	130	642	11	$p \rightarrow s$	fwd	1.77	2.00	1.21	E
								bwd	2.03	2.20	1.21	N
							$s \rightarrow p$	fwd	1.94	2.08	1.14	N
								bwd	1.72	1.88	1.22	E
2	10	1102	2982	202	1202	13	$p \rightarrow s$	fwd	9.42	9.95	4.05	E
								bwd	11.51	12.00	4.08	N
							$s \rightarrow p$	fwd	10.99	11.45	3.82	N
								bwd	9.25	9.81	4.09	E
2	12	1874	5162	290	2018	15	$p \rightarrow s$	fwd	38.60	40.16	11.51	E
								bwd	49.03	50.38	11.60	N
							$s \rightarrow p$	fwd	47.99	49.40	10.83	N
								bwd	38.34	39.78	11.63	E
3	8	1923	7107	243	2163	20	$p \rightarrow s$	fwd	44.43	62.04	12.26	E
								bwd	56.92	79.31	12.59	N
							$s \rightarrow p$	fwd	55.48	57.12	12.27	N
								bwd	44.11	67.60	12.64	E
4	6	1636	7468	196	1924	23	$p \rightarrow s$	fwd	30.28	31.64	10.39	E
								bwd	38.79	39.97	10.49	N
							$s \rightarrow p$	fwd	37.86	39.10	9.79	N
								bwd	29.94	31.25	10.49	E

- Space consuming

実験結果

- Grade protocol の正しさの検証
- オートマトンの等価性を調べることで検証できる

(Kiefer et al. 2011)

parm		protocol		specific		al	type	dir	f/b	time(sec)		space	ex
G	S	st	tr	st	tr					user	real		
2	8	578	1522	130	642	11	$p \rightarrow s$	fwd	1.77	2.00	1.21	E	
									bwd	2.03	2.20	1.21	N
								$s \rightarrow p$	fwd	1.94	2.08	1.14	N
									bwd	1.72	1.88	1.22	E
2	10	1102	2982	202	1202	13	$p \rightarrow s$	fwd	9.42	9.95	4.05	E	
									bwd	11.51	12.00	4.08	N
								$s \rightarrow p$	fwd	10.99	11.45	3.82	N
									bwd	9.25	9.81	4.09	E
2	12	1874	5162	290	2018	15	$p \rightarrow s$	fwd	38.60	40.16	11.51	E	
									bwd	49.03	50.38	11.60	N
								$s \rightarrow p$	fwd	47.99	49.40	10.83	N
									bwd	38.34	39.78	11.63	E
3	8	1923	7107	243	2163	20	$p \rightarrow s$	fwd	44.43	62.04	12.26	E	
									bwd	56.92	79.31	12.59	N
								$s \rightarrow p$	fwd	55.48	57.12	12.27	N
									bwd	44.11	67.60	12.64	E
4	6	1636	7468	196	1924	23	$p \rightarrow s$	fwd	30.28	31.64	10.39	E	
									bwd	38.79	39.97	10.49	N
								$s \rightarrow p$	fwd	37.86	39.10	9.79	N
									bwd	29.94	31.25	10.49	E

- Space consuming

- Kieferらの実装より遅い
 - Trace inclusionは trace equivalenceより難しい

実験結果

- Crowds protocol の probable innocence の検証
- Trace inclusion を調べることで検証できる (Hasuo, Kawabe, Sakurada, 2010)
- 変形が必要になる場合が発生 → 変形・探索を繰り返す

parm			orig		inno		time(sec)			space	iter	
n	c	p_f	st	tr	st	tr	al	f/b	user	real	(GB)	
5	1	$\frac{9}{10}$	7	44	7	56	18	fwd	52.48	52.56	0.01	2L
								bwd	0.01	0.06	0.01	2L
7	1	$\frac{3}{4}$	9	88	9	118	26	fwd	0.15	0.21	0.03	2L
								bwd	0.02	0.07	0.01	2L
10	2	$\frac{4}{5}$	12	224	12	280	54	fwd	802.47	803.64	0.35	2L
								bwd	0.05	0.12	0.03	2L
20	6	$\frac{4}{5}$	22	1514	22	1696	238	fwd	TO			
								bwd	1.32	1.51	0.78	2L
30	6	$\frac{4}{5}$	32	4732	32	5112	550	fwd	SF			
								bwd	11.84	12.82	5.99	2L

実験結果

- Crowds protocol の probable innocence の検証
- Trace inclusion を調べることで検証できる (Hasuo, Kawabe, Sakurada, 2010)
- 変形が必要になる場合が発生 → 変形・探索を繰り返す

parm			orig		inno		time(sec)			space	iter	
n	c	p_f	st	tr	st	tr	al	f/b	user	real	(GB)	
5	1	$\frac{9}{10}$	7	44	7	56	18	fwd	52.48	52.56	0.01	2L
								bwd	0.01	0.06	0.01	2L
7	1	$\frac{3}{4}$	9	88	9	118	26	fwd	0.15	0.21	0.03	2L
								bwd	0.02	0.07	0.01	2L
10	2	$\frac{4}{5}$	12	224	12	280	54	fwd	802.47	803.64	0.35	2L
								bwd	0.05	0.12	0.03	2L
20	6	$\frac{4}{5}$	22	1514	22	1696	238	fwd	TO			
								bwd	1.32	1.51	0.78	2L
30	6	$\frac{4}{5}$	32	4732	32	5112	550	fwd	SF			
								bwd	11.84	12.82	5.99	2L

実験結果

- Crowds protocol の probable innocence の検証
- Trace inclusion を調べることで検証できる (Hasuo, Kawabe, Sakurada, 2010)
- 変形が必要になる場合が発生 → 変形・探索を繰り返す

parm			orig		inno		time(sec)			space	iter	
n	c	p_f	st	tr	st	tr	al	f/b	user	real	(GB)	
5	1	$\frac{9}{10}$	7	44	7	56	18	fwd	52.48	52.56	0.01	2L
								bwd	0.01	0.06	0.01	2L
7	1	$\frac{3}{4}$	9	88	9	118	26	fwd	0.15	0.21	0.03	2L
								bwd	0.02	0.07	0.01	2L
10	2	$\frac{4}{5}$	12	224	12	280	54	fwd	802.47	803.64	0.35	2L
								bwd	0.05	0.12	0.03	2L
20	6	$\frac{4}{5}$	22	1514	22	1696	238	fwd	TO			
								bwd	1.32	1.51	0.78	2L
30	6	$\frac{4}{5}$	32	4732	32	5112	550	fwd	SF			
								bwd	11.84	12.82	5.99	2L

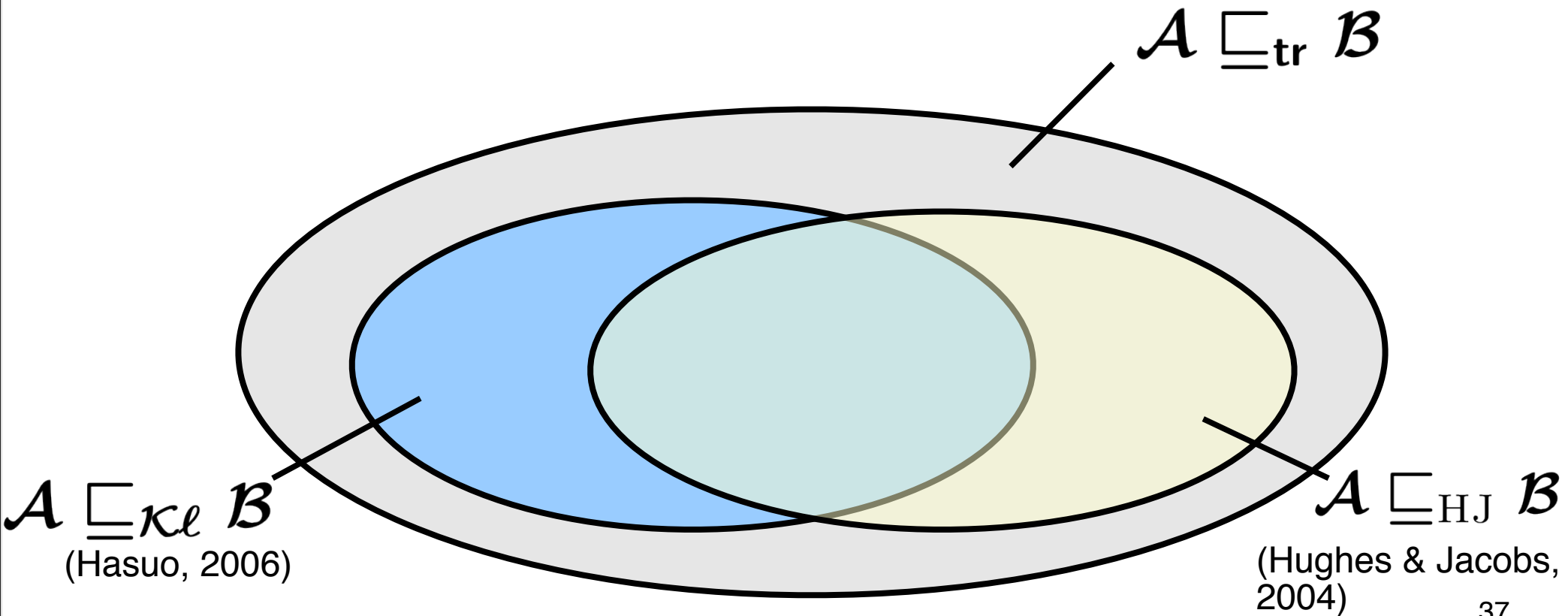
実験結果

- Crowds protocol の probable innocence の検証
- Trace inclusion を調べることで検証できる (Hasuo, Kawabe, Sakurada, 2010)
- 変形が必要になる場合が発生 → 変形・探索を繰り返す

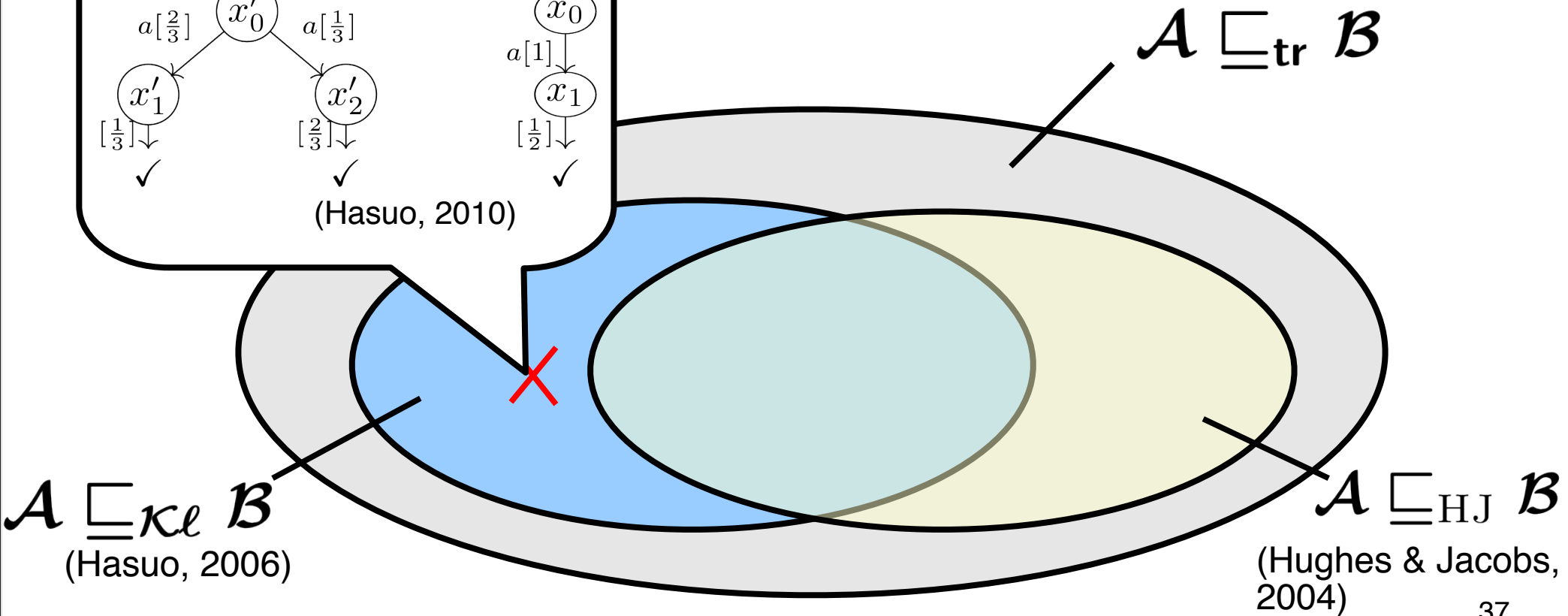
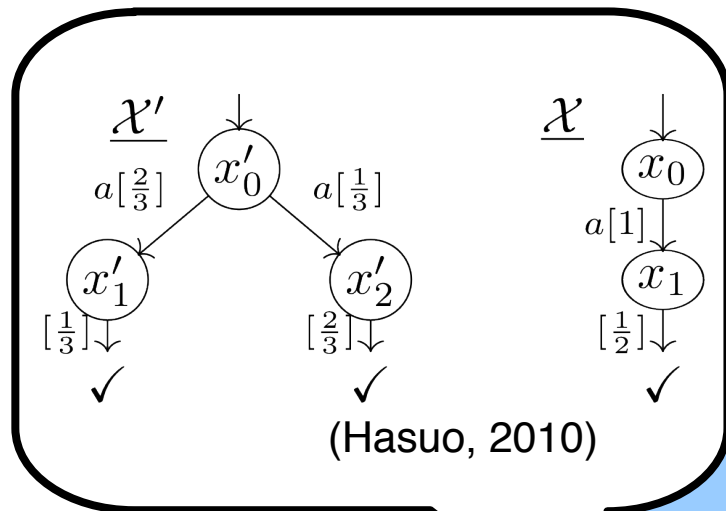
parm			orig		inno		time(sec)			space	iter	
n	c	p_f	st	tr	st	tr	al	f/b	user	real	(GB)	
5	1	$\frac{9}{10}$	7	44	7	56	18	fwd	52.48	52.56	0.01	2L
								bwd	0.01	0.06	0.01	2L
7	1	$\frac{3}{4}$	9	88	9	118	26	fwd	0.15	0.21	0.03	2L
								bwd	0.02	0.07	0.01	2L
10	2	$\frac{4}{5}$	12	224	12	280	54	fwd	802.47	803.64	0.35	2L
								bwd	0.05	0.12	0.03	2L
20	6	$\frac{4}{5}$	22	1514	22	1696	238	fwd	TO			
								bwd	1.32	1.51	0.78	2L
30	6	$\frac{4}{5}$	32	4732	32	5112	550	fwd	SF			
								bwd	11.84	12.82	5.99	2L

- Backward simulation is faster

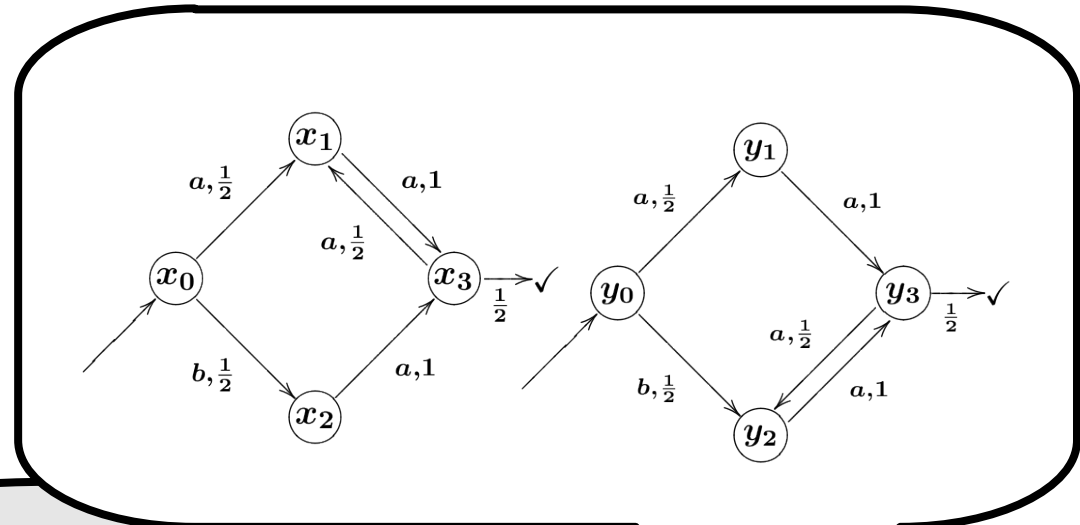
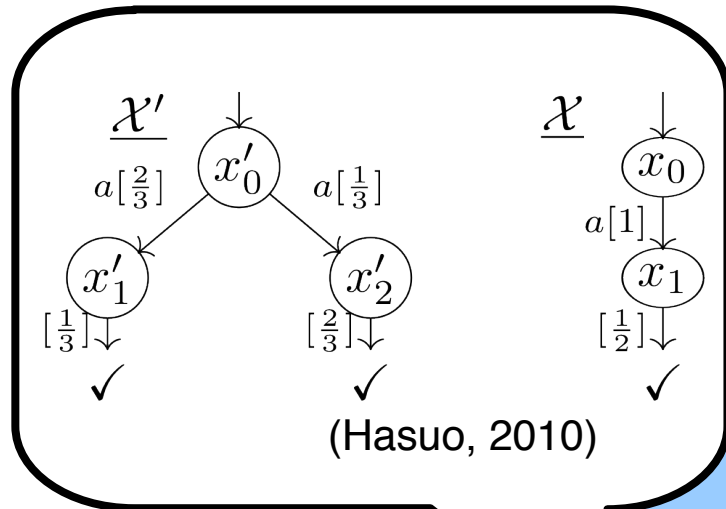
他のSimulationとの比較



他のSimulationとの比較



他のSimulationとの比較



$\mathcal{A} \sqsubseteq_{\kappa l} \mathcal{B}$
 (Hasuo, 2006)

$\mathcal{A} \sqsubseteq_{HJ} \mathcal{B}$
 (Hughes & Jacobs, 2004)

まとめ

- Kleisli simulationを探すプログラムを実装
- Simulation を存在しやすくする工夫

Future Work

- オートマトンの変形を圏論的に
- 他のシステムに対するKleisli simulationの実装